

第8章

高级搜索树

除了AVL树，本章将按照如图7.1所示的总体框架，继续介绍平衡二叉搜索树家族中的其它成员。首先，鉴于数据访问的局部性在实际应用中普遍存在，将按照“最常用者优先”的启发策略，引入并实现伸展树。尽管最坏情况下其单次操作需要 $O(n)$ 时间，但分摊而言仍在 $O(\log n)$ 以内。构思巧妙，实现简洁，加上适用广泛，这些特点都使得伸展树具有别样的魅力。

接下来，通过对平衡二叉搜索树的推广，引入平衡多路搜索树，并着重讨论作为其中典型代表的B-树。借助此类结构，可以有效地弥合不同存储级别之间，在访问速度上的巨大差异。

对照4阶B-树，还将引入并实现红黑树。红黑树不仅能保持全树的适度平衡，从而有效地控制单次操作的时间成本，而且可以将每次重平衡过程执行的结构调整，控制在常数次数以内。后者也是该树有别于其它变种的关键特性，它不仅保证了红黑树更高的实际计算效率，更为持久性结构（persistent structure）之类高级数据结构的实现，提供了直接而有效的方法。

最后，将针对平面范围查询应用，介绍基于平面子区域正交划分的kd-树结构。该结构是对四叉树（quadtree）和八叉树（octree）等结构的一般性推广，它也为计算几何类应用问题的求解，提供了一种基本的模式和有效的方法。

§ 8.1 伸展树

与前一章的AVL树一样，伸展树（splay tree）^①也是平衡二叉搜索树的一种形式。相对于前者，后者的实现更为简捷。伸展树无需时刻都严格地保持全树的平衡，但却能够在任何足够长的真实操作序列中，保持分摊意义上的高效率。伸展树也不需要基本的二叉树节点结构，做任何附加的要求或改动，更不需要记录平衡因子或高度之类的额外信息，故适用范围更广。

8.1.1 局部性

信息处理的典型模式是，将所有数据项视作一个集合，并将其组织为某种适宜的数据结构，进而借助操作接口高效访问。本书介绍的搜索树、词典和优先级队列等，都可归于此类。

为考查和评价各操作接口的效率，除了从最坏情况的角度出发，也可假定所有操作彼此独立、次序随机且概率均等，并从平均情况的角度出发。然而，后一尺度所依赖的假定条件，往往并不足以反映真实的情况。实际上，通常在任意数据结构的生命期内，不仅执行不同操作的概率往往极不均衡，而且各操作之间具有极强的相关性，并在整体上多呈现出极强的规律性。其中最为典型的，就是所谓的“数据局部性”（data locality），这包括两个方面的含义：

- 1) 刚刚被访问过的元素，极有可能在不久之后再次被访问到
- 2) 将被访问的下一元素，极有可能就处于不久之前被访问过的某个元素的附近

充分利用好此类特性，即可进一步地提高数据结构和算法的效率。比如习题[3-6]中的自调

^① 由D. D. Sleator和R. E. Tarjan于1985年发明^[41]

整列表，就是通过“即用即前移”的启发式策略，将最为常用的数据项集中于列表的前端，从而使得单次操作的时间成本大大降低。同样地，类似的策略也可应用于二叉搜索树。

就二叉搜索树而言，数据局部性具体表现为：

- 1) 刚刚被访问过的节点，极有可能在不久之后再次被访问到
- 2) 将被访问的下一节点，极有可能就处于不久之前被访问过的某个节点的附近

因此，只需将刚被访问的节点，及时地“转移”至树根（附近），即可加速后续的操作。当然，转移前后的搜索树必须相互等价，故为此仍需借助7.3.4节中等价变换的技巧。

8.1.2 逐层伸展

■ 简易伸展树

一种直接方式是：每访问过一个节点之后，随即反复地以它的父节点为轴，经适当的旋转将其提升一层，直至最终成为树根。以图8.1为例，若深度为3的节点E刚被访问——无论查找或插入，甚至“删除”——都可通过3次旋转，将该树等价变换为以E为根的另一棵二叉搜索树。

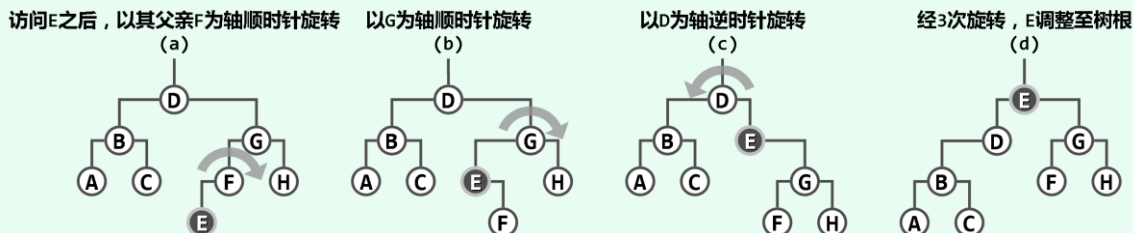


图8.1 通过自下而上的一系列等价变换，可使任一节点上升至树根

随着节点E的逐层上升，两侧子树的结构也不断地调整，故这一过程也形象地称作伸展（splaying），而采用这一调整策略的二叉搜索树也因此得名。不过，为实现真正意义上的伸展树，还须对以上策略做点微妙而本质的改进。之所以必须改进，是因为目前的策略仍存在致命的缺陷——对于很多访问序列，单次访问的分摊时间复杂度在极端情况下可能高达 $\Omega(n)$ 。

■ 最坏情况

不难验证，若从空树开始依次插入关键码{ 1, 2, 3, 4, 5 }，且其间采用如上调整策略，则可得到如图8.2(a)所示的二叉搜索树。

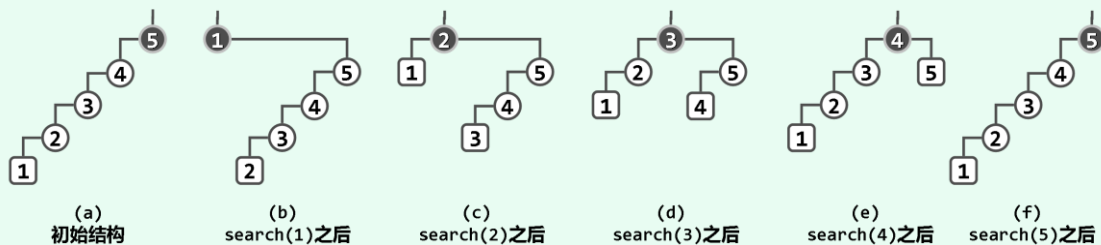


图8.2 简易伸展树的最坏情况

接下来，若通过search()接口，再由小到大依次访问各节点一次，则该树在各次访问之后的结构形态将如图(b~f)所示。

可见，在各次访问之后，为将对应节点伸展调整至树根，分别需做4、4、3、2和1次旋转。

一般地, 若节点总数为 n , 则旋转操作的总次数应为:

$$\begin{aligned} & (n-1) + \{ (n-1) + (n-2) + \dots + 1 \} \\ & = (n^2 + n - 2)/2 = \Omega(n^2) \end{aligned}$$

如此分摊下来, 每次访问平均需要 $\Omega(n)$ 时间。很遗憾, 这一效率不仅远远低于AVL树, 而且甚至与原始的二叉搜索树的最坏情况相当。而事实上, 问题还远不止于此。

稍做比对即不难发现, 图8.2(a)与(f)中二叉搜索树的结构完全相同。也就是说, 经过以上连续的5次访问之后, 全树的结构将会复原! 这就意味着, 以上情况可以持续地再现。

当然, 这一实例, 完全可以推广至规模任意的二叉搜索树。于是对于规模为任意 n 的伸展树, 只要按关键词单调的次序, 周期性地反复进行查找, 则无论总的访问次数 $m \gg n$ 有多大, 就分摊意义而言, 每次访问都将需要 $\Omega(n)$ 时间!

那么, 这类最坏的访问序列能否回避? 具体地, 又应该如何回避?

8.1.3 双层伸展

为克服上述伸展调整策略的缺陷, 一种简便且有效的方法就是: 将逐层伸展改为双层伸展。具体地, 每次都从当前节点 v 向上追溯两层(而不是仅一层), 并根据其父亲 p 以及祖父 g 的相对位置, 进行相应的旋转。以下分三类情况, 分别介绍具体的处理方法。

■ zig-zig/zag-zag

如图8.3(a)所示, 设 v 是 p 的左孩子, 且 p 也是 g 的左孩子; 设 W 和 X 分别是 v 的左、右子树, Y 和 Z 分别是 p 和 g 的右子树。

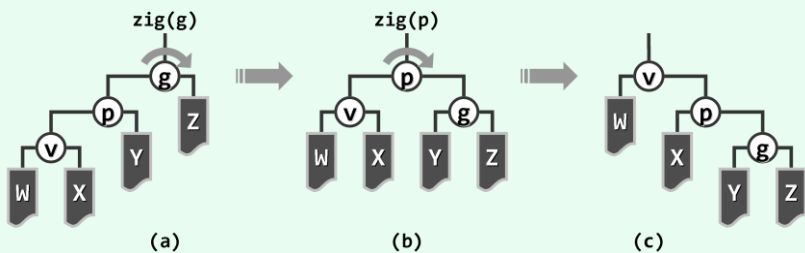


图8.3 通过zig-zig操作, 将节点 v 上推两层

针对这种情况, 首先以节点 g 为轴做顺时针旋转 $\text{zig}(g)$, 其效果如图(b)所示。然后, 再以 p 为轴做顺时针旋转 $\text{zig}(p)$, 其效果如图(c)所示。如此连续的两次 zig 旋转, 合称 zig-zig 调整。

自然地, 另一完全对称的情形—— v 是 p 的右孩子, 且 p 也是 g 的右孩子——则可通过连续的两次逆时针旋转实现调整, 合称 zag-zag 操作。这一操作的具体过程, 请读者独立绘出。

■ zig-zag/zag-zig

如图8.4(a)所示, 设 v 是 p 的左孩子, 而 p 是 g 的右孩子; 设 W 是 g 的左子树, X 和 Y 分别是 v 的左、右子树, Z 是 p 的右子树。

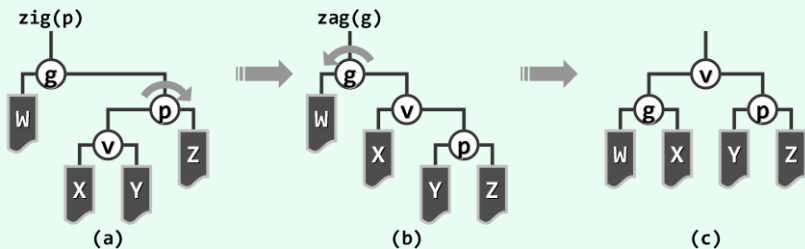


图8.4 通过zig-zag操作, 将节点 v 上推两层

针对这种情况, 首先以节点 p 为轴做顺时针旋转 $\text{zig}(p)$, 其效果如图(b)所示。然后, 再以 g 为轴做逆时针旋转 $\text{zag}(g)$, 其效果如图(c)所示。如此 zig 旋转再加 zag 旋转, 合称 zig-zag 调整。

同样地, 另一完全对称的情形—— v 是 p 的右孩子, 而 p 是 g 的左孩子——则可通过 zag 旋转再加 zig 旋转实现调整, 合称 zag-zig 操作。这一操作的具体过程, 请读者独立绘出。

■ zig/zag

如图8.5(a)所示,若 v 最初的深度为奇数,则经过若干次双层调整至最后一次调整时, v 的父亲 p 即是树根 r 。将 v 的左、右子树记作 X 和 Y ,节点 $p = r$ 的另一子树记作 Z 。

此时,只需围绕 $p = r$ 做顺时针旋转 $\text{zig}(p)$,即可如图(b)所示,使 v 最终攀升至树根,从而结束整个伸展调整的过程。

zag 调整与之对称,其过程请读者独立绘出。

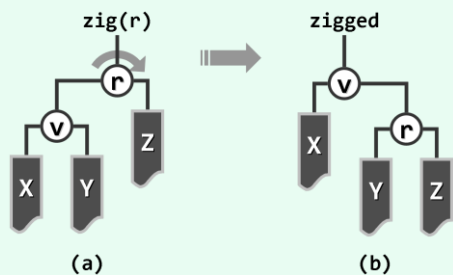


图8.5 通过zig操作,将节点 v 上推一层,成为树根

■ 效果与效率

综合以上各种情况,每经过一次双层调整操作,节点 v 都会上升两层。若 v 的初始深度 $\text{depth}(v)$ 为偶数,则最终 v 将上升至树根。若 $\text{depth}(v)$ 为奇数,则当 v 上升至深度为1时,不妨最后再相应地做一次zig或zag单旋操作。无论如何,经过 $\text{depth}(v)$ 次旋转后, v 最终总能成为树根。

重新审视图8.2的最坏实例不难发现,这一访问序列导致 $\Omega(n)$ 平均单次访问时间的原因,可以解释为:在这一可持续重复的过程中,二叉搜索树的高度始终不小于 $\lfloor n/2 \rfloor$;而且,至少有一半的节点在接受访问时,不仅没有如最初设想的那样靠近树根,而且反过来恰恰处于最底层。从树高的角度看,问题根源也可再进一步地解释为:在持续访问的过程中,树高依算术级数逐步从 $n - 1$ 递减至 $\lfloor n/2 \rfloor$,然后再逐步递增回到 $n - 1$ 。那么,采用上述双层伸展的策略将每一刚被访问过的节点推至树根,可否避免如图8.2所示的最坏情况呢?

稍作对比不难看出,就调整之后的局部结构而言,zig-zag和zag-zig调整与此前的逐层伸展完全一致(亦等效于AVL树的双旋调整),而zig-zig和zag-zag调整则有所不同。事实上,后者才是双层伸展策略优于逐层伸展策略的关键所在。

以如图8.6(b)所示的二叉搜索树为例,在 $\text{find}(1)$ 操作之后,采用逐层调整策略与双层调整策略的效果,分别如图(a)和图(c)所示。

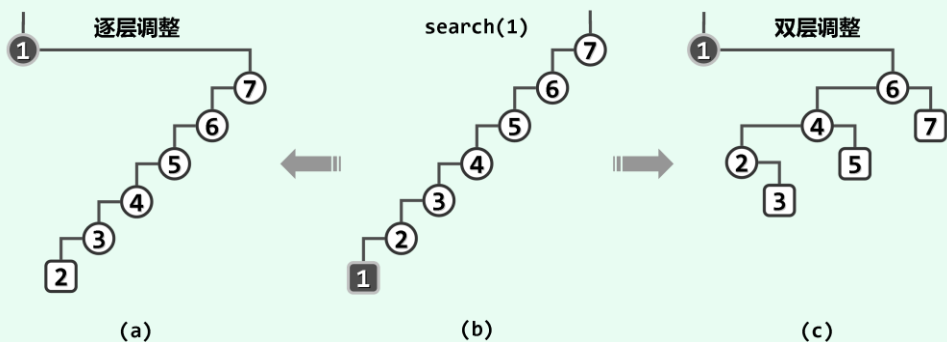


图8.6 双层调整策略的高度折半效果

可见,最深节点(1)被访问之后再经过双层调整,不仅同样可将该节点伸展至树根,而且同时可使树的高度接近于减半。就树的形态而言,双层伸展策略可“智能”地“折叠”被访问的子树分支,从而有效地避免对长分支的连续访问。这就意味着,即便节点 v 的深度为 $\Omega(n)$,双层伸展策略既可将 v 推至树根,亦可令对应分支的长度以几何级数(大致折半)的速度收缩。

图8.7则给出了一个节点更多、更具一般性的例子，从中可更加清晰地看出这一效果。

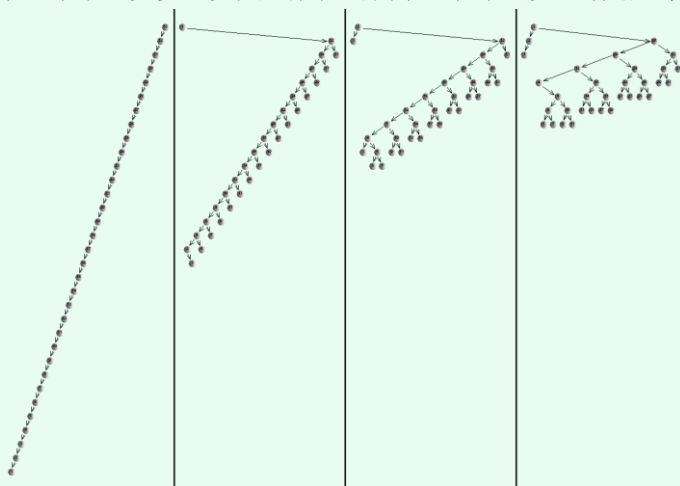


图8.7 伸展树中较深的节点一旦被访问到，对应分支的长度将随即减半

尽管在任一时刻伸展树中都可能存在很深的节点，但与含羞草类似地，一旦这类“坏”节点被“碰触”到，经过随后的双层伸展，其对应的分支都会收缩至长度大致折半。于是，即便每次都“恶意地”试图访问最底层节点，最坏情况也不会持续发生。可见，伸展树虽不能杜绝最坏情况的发生，却能有效地控制最坏情况发生的频度，从而在分摊意义下保证整体的高效率。

更准确地，Tarjan等人^[41]采用势能分析法（potential analysis）业已证明，在改用“双层伸展”策略之后，伸展树的单次操作均可在分摊的 $O(\log n)$ 时间内完成（习题[8-2]）。

8.1.4 伸展树的实现

■ 伸展树接口定义

基于BST类，可定义伸展树模板类Splay如代码8.1所示。

```
1 #include "../BST/BST.h" //基于BST实现Splay
2 template <typename T> class Splay : public BST<T> { //由BST派生的Splay树模板类
3 protected:
4     BinNodePosi(T) splay ( BinNodePosi(T) v ); //将节点v伸展至根
5 public:
6     BinNodePosi(T) & search ( const T& e ); //查找 (重写)
7     BinNodePosi(T) insert ( const T& e ); //插入 (重写)
8     bool remove ( const T& e ); //删除 (重写)
9 };
```

代码8.1 基于BST定义的伸展树接口

可见，这里直接沿用二叉搜索树类，并根据伸展树的平衡规则，重写了三个基本操作接口search()、insert()和remove()，另外，针对伸展调整操作，设有一个内部保护型接口splay()。

这些接口的具体实现将在以下数节陆续给出。需强调的是，与一般的二叉搜索树不同，伸展树的查找也会引起整树的结构调整，故search()操作也需重写。

■ 伸展算法的实现

8.1.3节所述的伸展调整方法，可具体实现如代码8.2所示。

```

1  template <typename NodePosi> inline //在节点*p与*lc (可能为空)之间建立父(左)子关系
2  void attachAsLChild ( NodePosi p, NodePosi lc ) { p->lc = lc; if ( lc ) lc->parent = p; }
3
4  template <typename NodePosi> inline //在节点*p与*rc (可能为空)之间建立父(右)子关系
5  void attachAsRChild ( NodePosi p, NodePosi rc ) { p->rc = rc; if ( rc ) rc->parent = p; }
6
7  template <typename T> //Splay树伸展算法：从节点v出发逐层伸展
8  BinNodePosi(T) Splay<T>::splay ( BinNodePosi(T) v ) { //v为因最近访问而需伸展的节点位置
9      if ( !v ) return NULL; BinNodePosi(T) p; BinNodePosi(T) g; //v的父亲与祖父
10     while ( ( p = v->parent ) && ( g = p->parent ) ) { //自下而上，反复对*v做双层伸展
11         BinNodePosi(T) gg = g->parent; //每轮之后*v都以原曾祖父 (great-grand parent) 为父
12         if ( IsLChild ( *v ) )
13             if ( IsLChild ( *p ) ) { //zig-zig
14                 attachAsLChild ( g, p->rc ); attachAsLChild ( p, v->rc );
15                 attachAsRChild ( p, g ); attachAsRChild ( v, p );
16             } else { //zig-zag
17                 attachAsLChild ( p, v->rc ); attachAsRChild ( g, v->lc );
18                 attachAsLChild ( v, g ); attachAsRChild ( v, p );
19             }
20         else if ( IsRChild ( *p ) ) { //zag-zag
21             attachAsRChild ( g, p->lc ); attachAsRChild ( p, v->lc );
22             attachAsLChild ( p, g ); attachAsLChild ( v, p );
23         } else { //zag-zig
24             attachAsRChild ( p, v->lc ); attachAsLChild ( g, v->rc );
25             attachAsRChild ( v, g ); attachAsLChild ( v, p );
26         }
27         if ( !gg ) v->parent = NULL; //若*v原先的曾祖父*gg不存在，则*v现在应为树根
28         else //否则，*gg此后应该以*v作为左或右孩子
29             ( g == gg->lc ) ? attachAsLChild ( gg, v ) : attachAsRChild ( gg, v );
30         updateHeight ( g ); updateHeight ( p ); updateHeight ( v );
31     } //双层伸展结束时，必有g == NULL，但p可能非空
32     if ( p = v->parent ) { //若p果真非空，则额外再做一次单旋
33         if ( IsLChild ( *v ) ) { attachAsLChild ( p, v->rc ); attachAsRChild ( v, p ); }
34         else { attachAsRChild ( p, v->lc ); attachAsLChild ( v, p ); }
35         updateHeight ( p ); updateHeight ( v );
36     }
37     v->parent = NULL; return v;
38 } //调整之后新树根应为被伸展的节点，故返回该节点的位置以便上层函数更新树根

```

代码8.2 伸展树节点的调整

查找算法的实现

在伸展树中查找任一关键码 e 的过程，可实现如代码8.3所示。

```
1 template <typename T> BinNodePosi(T) & Splay<T>::search ( const T& e ) { //在伸展树中查找e
2     BinNodePosi(T) p = searchIn ( _root, e, _hot = NULL );
3     _root = splay ( ( p ? p : _hot ) ); //将最后一个被访问的节点伸展至根
4     return _root;
5 } //与其它BST不同，无论查找成功与否，_root都指向最后被访问的节点
```

代码8.3 伸展树节点的查找

首先，调用二叉搜索树的通用算法`searchIn()`（代码7.3）尝试查找具有关键码 e 的节点。无论查找是否成功，都继而调用`splay()`算法，将查找终止位置处的节点伸展到树根。

插入算法的实现

为将节点插至伸展树中，固然可以调用二叉搜索树的标准插入算法`BST::insert()`（188页代码7.5），再通过双层伸展，将新插入的节点提升至树根。

然而，以上接口`Splay::search()`已集成了`splay()`伸展功能，故查找返回后，树根节点要么等于查找目标（查找成功），要么就是`_hot`，而且恰为拟插入节点的直接前驱或直接后继（查找失败）。因此，不妨改用如下方法实现`Splay::insert()`接口。

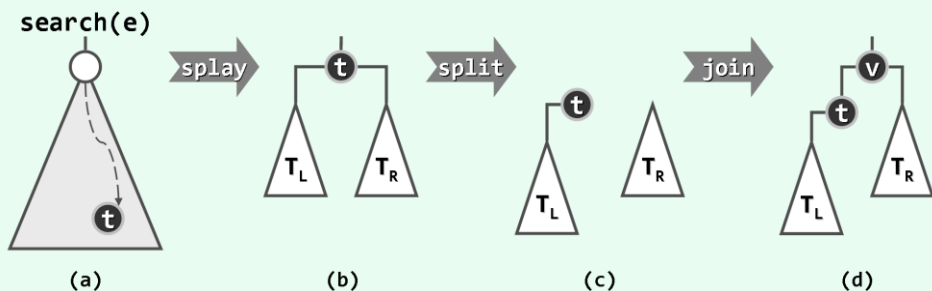


图8.8 伸展树的节点插入

如图8.8所示，为将关键码 e 插至伸展树 T 中，首先调用伸展树查找接口`Splay::search(e)`，查找该关键码（图(a)）。于是，其中最后被访问的节点 t ，将通过伸展被提升为树根，其左、右子树分别记作 T_L 和 T_R （图(b)）。

接下来，根据 e 与 t 的大小关系（不妨排除二者相等的情况），以 t 为界将 T 分裂为两棵子树。比如，不失一般性地设 e 大于 t 。于是，可切断 t 与其右孩子之间的联系（图(c)），再将 e 为关键码的新节点 v 作为树根，并以 t 作为其左孩子，以 T_R 作为其右子树（图(d)）。

v 小于 t 的情况与此完全对称，请读者独立做出分析。

上述算法过程，可具体实现如代码8.4所示。

```
1 template <typename T> BinNodePosi(T) Splay<T>::insert ( const T& e ) { //将关键码e插入伸展树中
2     if ( !_root ) { _size++; return _root = new BinNode<T> ( e ); } //处理原树为空的情况
3     if ( e == search ( e )->data ) return _root; //确认目标节点不存在
4     _size++; BinNodePosi(T) t = _root; //创建新节点。以下调整<=7个指针以完成局部重构
```



```

5  if ( _root->data < e ) { //插入新根, 以t和t->rc为左、右孩子
6      t->parent = _root = new BinNode<T> ( e, NULL, t, t->rc ); //2 + 3个
7      if ( HasRChild ( *t ) ) { t->rc->parent = _root; t->rc = NULL; } //<= 2个
8  } else { //插入新根, 以t->lc和t为左、右孩子
9      t->parent = _root = new BinNode<T> ( e, NULL, t->lc, t ); //2 + 3个
10     if ( HasLChild ( *t ) ) { t->lc->parent = _root; t->lc = NULL; } //<= 2个
11 }
12 updateHeightAbove ( t ); //更新t及其祖先 (实际上只有_root一个) 的高度
13 return _root; //新节点必然置于树根, 返回之
14 } //无论e是否存在于原树中, 返回时总有_root->data == e

```

代码8.4 伸展树节点的插入

尽管伸展树并不需要记录和维护节点高度, 为与其它平衡二叉搜索树的实现保持统一, 这里还是对节点的高度做了及时的更新。出于效率的考虑, 实际应用中可视情况, 省略这类更新。

■ 删除算法的实现

为从伸展树中删除节点, 固然也可以调用二叉搜索树标准的节点删除算法 `BST::remove()` (190页代码7.6), 再通过双层伸展, 将该节点此前的父节点提升至树根。

然而同样地, 在实施删除操作之前, 通常都需要调用 `Splay::search()` 定位目标节点, 而该接口已经集成了 `splay()` 伸展功能, 从而使得在成功返回后, 树根节点恰好就是待删除节点。因此, 亦不妨改用如下策略, 以实现 `Splay::remove()` 接口。

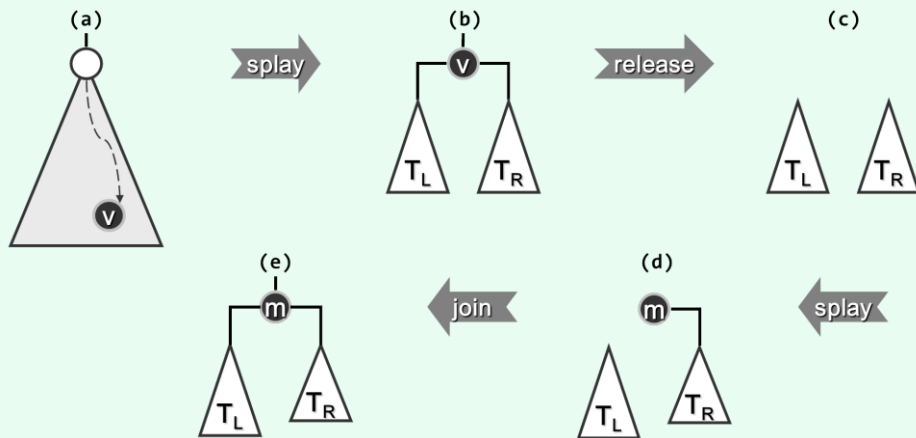


图8.9 伸展树的节点删除

如图8.9所示, 为从伸展树 T 中删除关键字为 e 的节点, 首先亦调用接口 `Splay::search(e)`, 查找该关键字, 且不妨设命中节点为 v (图(a))。于是, v 将随即通过伸展被提升为树根, 其左、右子树分别记作 T_L 和 T_R (图(b))。接下来, 将 v 摘除 (图(c))。然后, 在 T_R 中再次查找关键字 e 。尽管这一查找注定失败, 却可以将 T_R 中的最小节点 m , 伸展提升为该子树的根。

得益于二叉搜索树的顺序性, 此时节点 m 的左子树必然为空; 同时, T_L 中所有节点都应小于 m (图(d))。于是, 只需将 T_L 作为左子树与 m 相互联接, 即可得到一棵完整的二叉搜索树 (图(e))。如此不仅删除了 v , 而且既然新树根 m 在原树中是 v 的直接后继, 故数据局部性也得到了利用。

上述算法过程，可具体实现如代码8.5所示。

```

1 template <typename T> bool Splay<T>::remove ( const T& e ) { //从伸展树中删除关键码e
2     if ( !_root || ( e != search ( e )->data ) ) return false; //若树空或目标不存在，则无法删除
3     BinNodePosi(T) w = _root; //assert: 经search()后节点e已被伸展至树根
4     if ( !HasLChild ( *_root ) ) { //若无左子树，则直接删除
5         _root = _root->rc; if ( _root ) _root->parent = NULL;
6     } else if ( !HasRChild ( *_root ) ) { //若无右子树，也直接删除
7         _root = _root->lc; if ( _root ) _root->parent = NULL;
8     } else { //若左右子树同时存在，则
9         BinNodePosi(T) lTree = _root->lc;
10        lTree->parent = NULL; _root->lc = NULL; //暂时将左子树切除
11        _root = _root->rc; _root->parent = NULL; //只保留右子树
12        search ( w->data ); //以原树根为目标，做一次（必定失败的）查找
13        ///// assert: 至此，右子树中最小节点必伸展至根，且（因无雷同节点）其左子树必空，于是
14        _root->lc = lTree; lTree->parent = _root; //只需将原左子树接回原位即可
15    }
16    release ( w->data ); release ( w ); _size--; //释放节点，更新规模
17    if ( _root ) updateHeight ( _root ); //此后，若树非空，则树根的高度需要更新
18    return true; //返回成功标志
19 } //若目标节点存在且被删除，返回true；否则返回false

```

代码8.5 伸展树节点的删除

当然，其中的第二次查找也可在 T_L （若非空）中进行。读者不妨独立实现这一对称的版本。

§ 8.2 B-树

8.2.1 多路平衡查找

■ 分级存储

现代电子计算机发展速度空前。就计算能力而言，ENIAC^②每秒只能够执行5000次加法运算，而今天的超级计算机每秒已经能够执行 3×10^{16} 次以上的浮点运算^③。就存储能力而言，情况似乎也是如此：ENIAC只有一万八千个电子管，而如今容量以TB计的硬盘也不过数百元，内存的常规容量也已达GB量级。

然而从实际应用的需求来看，问题规模的膨胀却远远快于存储能力的增长。以数据库为例，在20世纪80年代初，典型数据库的规模为10~100 MB，而三十年后的今天，典型数据库的规模已需要以TB为单位来计量。计算机存储能力提高速度相对滞后，是长期存在的现象，而且随着时间的推移，这一矛盾将日益凸显。鉴于在同等成本下，存储器的容量越大（小）则访问速度越慢（快），因此一味地提高存储器容量，亦非解决这一矛盾的良策。

^② 第一台电子计算机，1946年2月15日诞生于美国宾夕法尼亚大学工学院

^③ 2013年6月，天河-2以此运算速度，荣登世界超级计算机500强榜首

实践证明,分级存储才是行之有效的方法。在由内存与外存(磁盘)组成的二级存储系统中,数据全集往往存放于外存中,计算过程中则可将内存作为外存的高速缓存,存放最常用数据项的复本。借助高效的调度算法,如此便可将内存的“高速度”与外存的“大容量”结合起来。

两个相邻存储级别之间的数据传输,统称I/O操作。各级存储器的访问速度相差悬殊,故应尽可能地减少I/O操作。仍以内存与磁盘为例,其单次访问延迟大致分别在纳秒(ns)和毫秒(ms)级别,相差5至6个数量级。也就是说,对内存而言的一秒/一天,相当于磁盘的一星期/两千年。因此,为减少对外存的一次访问,我们宁愿访问内存百次、千次甚至万次。也正因为此,在衡量相关算法的性能时,基本可以忽略对内存的访问,转而更多地关注对外存的访问次数。

■ 多路搜索树

当数据规模大到内存已不足以容纳时,常规平衡二叉搜索树的效率将大打折扣。其原因在于,查找过程对外存的访问次数过多。例如,若将 10^9 个记录在外存中组织为AVL树,则每次查找大致需做30次外存访问。那么,如何才能有效减少外存操作呢?

为此,需要充分利用磁盘之类外部存储器的另一特性:就时间成本而言,读取物理地址连续的一千个字节,与读取单个字节几乎没有区别。既然外部存储器更适宜于批量式访问,不妨通过时间成本相对极低的多次内存操作,来替代时间成本相对极高的单次外存操作。相应地,需要将通常的二叉搜索树,改造为多路搜索树——在中序遍历的意义下,这也是一种等价变换。

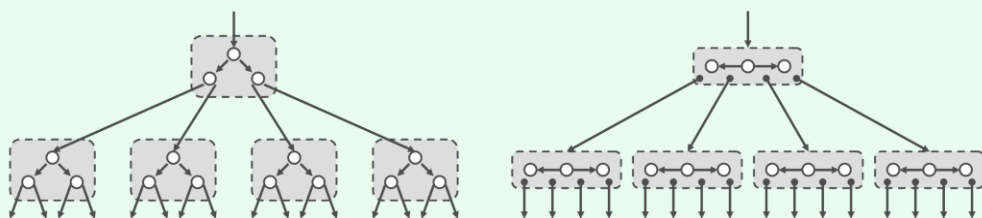


图8.10 二叉搜索树与四路搜索树

具体地如图8.10所示,比如可以两层为间隔,将各节点与其左、右孩子合并为“大节点”:原节点及其孩子的共三个关键码予以保留;孩子节点原有的四个分支也予以保留并按中序遍历次序排列;节点到左、右孩子的分支转化为“大节点”内部的搜索,在图中表示为水平分支。如此改造之后,每个“大节点”拥有四个分支,故称作四路搜索树。

这一策略还可进一步推广,比如以三层为间隔,将各节点及其两个孩子、四个孙子合并为含有七个关键码、八个分支的“大节点”,进而得到八路搜索树。一般地,以 k 层为间隔如此重组,可将二叉搜索树转化为等价的 2^k 路搜索树,统称多路搜索树(multi-way search tree)。

不难验证,多路搜索树同样支持查找等操作,且效果与原二叉搜索树完全等同;然而重要的是,其对外存的访问方式已发生本质变化。实际上,在此时的搜索每下降一层,都以“大节点”为单位从外存读取一组(而不再是单个)关键码。更为重要的是,这组关键码在逻辑上与物理上都彼此相邻,故可以批量方式从外存一次性读出,且所需时间与读取单个关键码几乎一样。

当然,每组关键码的最佳数目,取决于不同外存的批量访问特性。比如旋转式磁盘的读写操作多以扇区为单位,故可根据扇区的容量和关键码的大小,经换算得出每组关键码的最佳规模。例如若取 $k = 8$,则每个“大节点”将拥有255个关键码和256个分支,此时同样对于1G个记录,每次查找所涉及的外存访问将减至4~5次。

■ 多路平衡搜索树

所谓 m 阶B-树^④ (B-tree)，即 m 路平衡搜索树 ($m \geq 2$)，其宏观结构如图8.11所示。

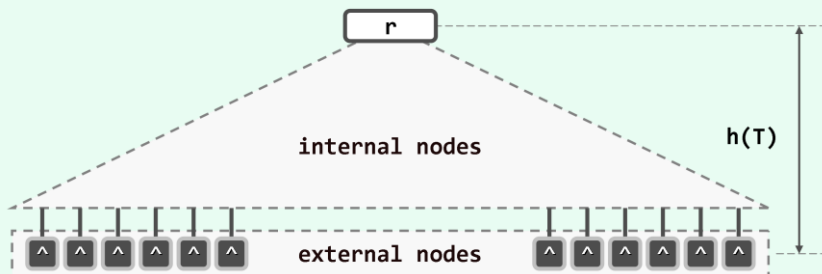


图8.11 B-树的宏观结构（外部节点以深色示意，深度完全一致，且都同处于最底层）

其中，所有外部节点均深度相等。同时，每个内部节点都存有不超过 $m - 1$ 个关键码，以及用以指示对应分支的不超过 m 个引用。具体地，存有 $n \leq m - 1$ 个关键码：

$$K_1 < K_2 < K_3 < K_4 < \dots < K_n$$

的内部节点，同时还配有 $n + 1 \leq m$ 个引用：

$$A_0 < A_1 < A_2 < A_3 < A_4 < \dots < A_n$$

反过来，各内部节点的分支数也不能太少。具体地，除根以外的所有内部节点，都应满足：

$$n + 1 \geq \lceil m/2 \rceil$$

而在非空的B-树中，根节点应满足：

$$n + 1 \geq 2$$

由于各节点的分支数介于 $\lceil m/2 \rceil$ 至 m 之间，故 m 阶B-树也称作 $(\lceil m/2 \rceil, m)$ -树，如 $(2, 3)$ -树、 $(3, 6)$ -树或 $(7, 13)$ -树等。

B-树的外部节点（external node）更加名副其实——它们实际上未必意味着查找失败，而可能表示目标关键码存在于更低层次的某一外部存储系统中，顺着该节点的指示，即可深入至下一级存储系统并继续查找。正因为如此，不同于常规的搜索树，如图8.11所示，在计算B-树高度时，还需要计入其最底层的外部节点。

例如，图8.12(a)即为一棵由9个内部节点、15个外部节点以及14个关键码组成的4阶B-树，其高度 $h = 3$ ，其中每个节点包含1~3个关键码，拥有2~4个分支。

作为与二叉搜索树等价的“扁平化”版本，B-树的宽度（亦即最底层外部节点的数目）往往远大于其高度。因此在以图形描述B-树的逻辑结构时，我们往往需要简化其中分支的画法，并转而采用如图(b)所示的紧凑形式。

另外，既然外部节点均同处于最底层，且深度完全一致，故在将它们省略之后，通常还不致造成误解。因此，还可以将B-树的逻辑结构，进一步精简为如图(c)所示的最紧凑形式。

由这种最紧凑的表示形式，也可同时看出，B-树叶节点（即最深的内部节点）的深度也必然完全一致，比如 $[7]$ 、 $[19, 22]$ 、 $[28]$ 、 $[37, 40, 41]$ 、 $[46]$ 和 $[52]$ 。

^④ 由R. Bayer和E. McCreight于1970年合作发明^[43]

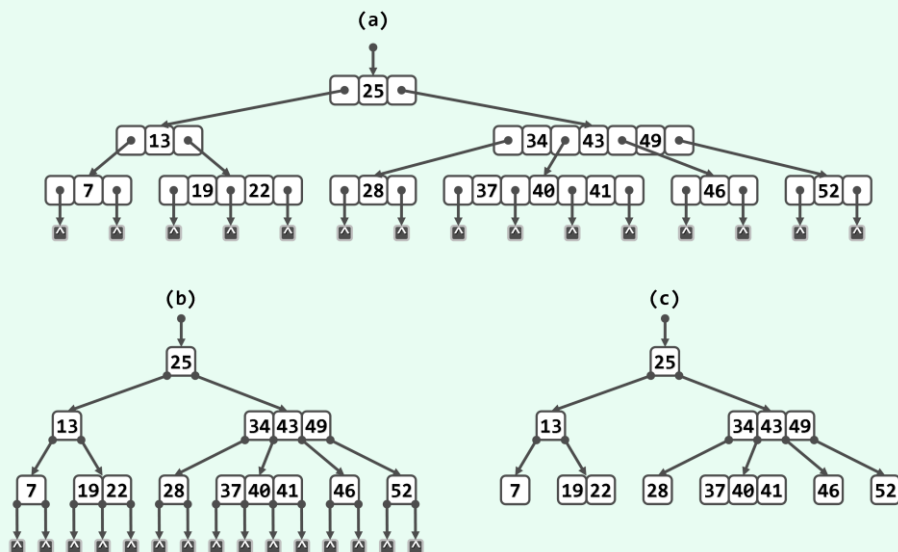


图8.12 (a) 4阶B-树；(b) B-树的紧凑表示；(c) B-树的最紧凑表示

8.2.2 ADT接口及其实现

按照以上定义，可以模板类的形式描述并实现B-树节点以及B-树结构本身如下。

■ 节点

B-树节点BTreeNode类，可实现如代码8.6所示。

```
1 #include "../vector/vector.h"
2 #define BTreeNodePosi(T) BTreeNode<T>* //B-树节点位置
3
4 template <typename T> struct BTreeNode { //B-树节点模板类
5     // 成员（为简化描述起见统一开放，读者可根据需要进一步封装）
6     BTreeNodePosi(T) parent; //父节点
7     Vector<T> key; //关键码向量
8     Vector<BTreeNodePosi(T)> child; //孩子向量（其长度总比key多一）
9     // 构造函数（注意：BTreeNode只能作为根节点创建，而且初始时有0个关键码和1个空孩子指针）
10    BTreeNode() { parent = NULL; child.insert(0, NULL); }
11    BTreeNode(T e, BTreeNodePosi(T) lc = NULL, BTreeNodePosi(T) rc = NULL) {
12        parent = NULL; //作为根节点，而且初始时
13        key.insert(0, e); //只有一个关键码，以及
14        child.insert(0, lc); child.insert(1, rc); //两个孩子
15        if (lc) lc->parent = this; if (rc) rc->parent = this;
16    }
17 };
```

代码8.6 B-树节点

这里，同一节点的所有孩子组织为一个向量，各相邻孩子之间的关键码也组织为一个向量。当然，按照B-树的定义，孩子向量的实际长度总是比关键码向量多一。

■ B-树

B-树模板类，可实现如代码8.7所示。

```

1 #include "BTreeNode.h" //引入B-树节点类
2
3 template <typename T> class BTree { //B-树模板类
4 protected:
5     int _size; //存放的关键码总数
6     int _order; //B-树的阶次，至少为3——创建时指定，一般不能修改
7     BTreeNodePosi(T) _root; //根节点
8     BTreeNodePosi(T) _hot; //BTree::search()最后访问的非空（除非树空）的节点位置
9     void solveOverflow ( BTreeNodePosi(T) ); //因插入而上溢之后的分裂处理
10    void solveUnderflow ( BTreeNodePosi(T) ); //因删除而下溢之后的合并处理
11 public:
12    BTree ( int order = 3 ) : _order ( order ), _size ( 0 ) //构造函数：默认为最低的3阶
13    { _root = new BTreeNode<T>(); }
14    ~BTree() { if ( _root ) release ( _root ); } //析构函数：释放所有节点
15    int const order() { return _order; } //阶次
16    int const size() { return _size; } //规模
17    BTreeNodePosi(T) & root() { return _root; } //树根
18    bool empty() const { return !_root; } //判空
19    BTreeNodePosi(T) search ( const T& e ); //查找
20    bool insert ( const T& e ); //插入
21    bool remove ( const T& e ); //删除
22 }; //BTree

```

代码8.7 B-树

后面将会看到，B-树的关键码插入操作和删除操作，可能会引发节点的上溢和下溢。因此，这里设有内部接口solveOverflow()和solveUnderflow()，分别用于修正此类问题。在稍后的8.2.6节和8.2.8节中，将分别讲解其具体原理及实现。

8.2.3 关键码查找

■ 算法

如前述，B-树结构非常适宜于在相对更小的内存中，实现对大规模数据的高效操作。

一般地如图8.13所示，可以将大数据集组织为B-树并存放于外存。对于活跃的B-树，其根节点会常驻于内存；此外，任何时刻通常只有另一节点（称作当前节点）留驻于内存。

B-树的查找过程，与二叉搜索树的查找过程基本类似。

首先以根节点作为当前节点，然后再逐层深入。若在当前节点（所包含的一组关键码）中能够找到目标关键码，则成功返回。否则（在当前节点中查找“失败”），则必可在当前节点中确定某一个引用（“失败”位置），并通过它转至逻辑上处于下一层的另一节点。若该节点不是外部节点，则将其载入内存，并更新为当前节点，然后继续重复上述过程。

整个过程如图8.13所示，从根节点开始，通过关键码的比较不断深入至下一层，直到某一关键码命中（查找成功），或者到达某一外部节点（查找失败）。

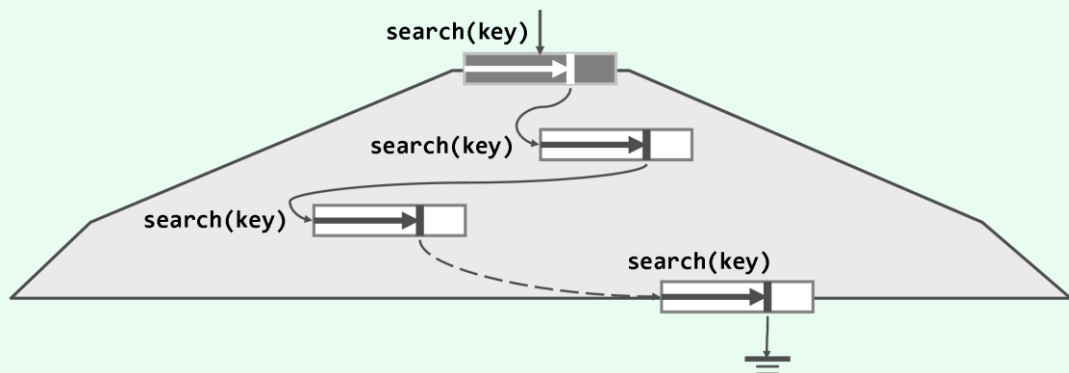


图8.13 B-树的查找过程

与二叉搜索树的不同之处在于，因此时各节点内通常都包含多个关键码，故有可能需要经过（在内存中的）多次比较，才能确定应该转向下一层的哪个节点并继续查找。

仍以如图8.12所示的4阶B-树为例，查找关键码41的过程大致如下：在根节点处经过一次关键码比较（25）之后，即可确定应转入第2个分支；再经过两次比较（34，43）之后，确定转入第2个分支；最后经过三次比较（37，40，41）之后，才成功地找到目标关键码。查找关键码42的过程与之类似，只是在最底层的内部节点内，需要经过三次关键码比较（37，40，41）之后，才确定应转入关键码41右侧的外部节点，从而最终确定查找失败。

可见，只有在切换和更新当前节点时才会发生I/O操作，而在同一节点内部的查找则完全在内存中进行。因内存的访问速度远远高于外存，再考虑到各节点所含关键码数量通常在128~512之间，故可直接使用顺序查找策略，而不必采用二分查找之类的复杂策略。

■ 实现

如代码8.8所示，为简化代码，节点内部的查找直接借用了有序向量的search()接口。

```
1 template <typename T> BTreeNodePosi(T) BTree<T>::search ( const T& e ) { //在B-树中查找关键码e
2     BTreeNodePosi(T) v = _root; _hot = NULL; //从根节点出发
3     while ( v ) { //逐层查找
4         Rank r = v->key.search ( e ); //在当前节点中，找到不大于e的最大关键码
5         if ( ( 0 <= r ) && ( e == v->key[r] ) ) return v; //成功：在当前节点中命中目标关键码
6         _hot = v; v = v->child[r + 1]; //否则，转入对应子树（_hot指向其父）——需做I/O，最费时间
7     } //这里在向量内是二分查找，但对通常的_order可直接顺序查找
8     return NULL; //失败：最终抵达外部节点
9 }
```

代码8.8 B-树关键码的查找

与二叉搜索树的实现类似，这里也约定查找结果由返回的节点位置指代：成功时返回目标关键码所在的节点，上层调用过程可在该节点内进一步查找以确定准确的命中位置；失败时返回对应外部节点，其父节点则由变量_hot指代。

8.2.4 性能分析

由上可见，B-树查找操作所需的时间不外乎消耗于两个方面：将某一节点载入内存，以及在内存中对当前节点进行查找。鉴于内存、外存在访问速度上的巨大差异，相对于前一类时间消耗，后一类时间消耗可以忽略不计。也就是说，B-树查找操作的效率主要取决于查找过程中的外存访问次数。那么，至多需要访问多少次外存呢？

由前节分析可见，与二叉搜索树类似，B-树的每一次查找过程中，在每一高度上至多访问一个节点。这就意味着，对于高度为 h 的B-树，外存访问不超过 $O(h - 1)$ 次。

B-树节点的分支数并不固定，故其高度 h 并不完全取决于树中关键码的总数 n 。对于包含 N 个关键码的 m 阶B-树，高度 h 具体可在多大范围内变化？就渐进意义而言， h 与 m 及 N 的关系如何？

■ 树高

可以证明，若存有 N 个关键码的 m 阶B-树高度为 h ，则必有：

$$\log_m(N + 1) \leq h \leq \log_{\lceil m/2 \rceil} \lfloor (N + 1) / 2 \rfloor + 1 \dots\dots\dots (式8-1)$$

首先证明 $h \leq \log_{\lceil m/2 \rceil} \lfloor (N + 1) / 2 \rfloor + 1$ 。关键码总数固定时，为使B-树更高，各内部节点都应包含尽可能少的关键码。于是按照B-树的定义，各高度层次上节点数目至少是：

$$\begin{aligned} n_0 &= 1 \\ n_1 &= 2 \\ n_2 &= 2 \times \lceil m / 2 \rceil \\ n_3 &= 2 \times \lceil m / 2 \rceil^2 \\ &\dots \\ n_{h-1} &= 2 \times \lceil m / 2 \rceil^{h-2} \\ n_h &= 2 \times \lceil m / 2 \rceil^{h-1} \end{aligned}$$

现考查外部节点。这些节点对应于失败的查找，故其数量 n_h 应等于失败查找可能情形的总数，即应比成功查找可能情形的总数恰好多1，而后者等于关键码的总数 N 。于是有

$$N + 1 = n_h \geq 2 \times (\lceil m / 2 \rceil)^{h-1}, \quad h \geq 1$$

即 $h \leq 1 + \log_{\lceil m/2 \rceil} \lfloor (N + 1) / 2 \rfloor = O(\log_m N)$

再来证明 $h \geq \log_m(N + 1)$ 。同理，关键码总数固定时，为使B-树更矮，每个内部节点都应该包含尽可能多的关键码。按照B-树的定义，各高度层次上的节点数目至多是：

$$\begin{aligned} n_0 &= 1 \\ n_1 &= m \\ n_2 &= m^2 \\ &\dots \\ n_{h-1} &= m^{h-1} \\ n_h &= m^h \end{aligned}$$

与上同理，有

$$N + 1 = n_h \leq m^h$$

即 $h \geq \log_m(N + 1) = \Omega(\log_m N)$

总之，式8-1必然成立。也就是说，存有 N 个关键码的 m 阶B-树的高度 $h = \Theta(\log_m N)$ 。

■ 复杂度

因此，每次查找过程共需访问 $O(\log_m N)$ 个节点，相应地需要做 $O(\log_m N)$ 次外存读取操作。由此可知，对存有 N 个关键码的 m 阶B-树的每次查找操作，耗时不超过 $O(\log_m N)$ 。

需再次强调的是，尽管没有渐进意义上的改进，但相对而言极其耗时的I/O操作的次数，却已大致缩减为原先的 $1/\log_2 m$ 。鉴于 m 通常取值在256至1024之间，较之此前大致降低一个数量级，故使用B-树后，实际的访问效率将有十分可观的提高。

8.2.5 关键码插入

B-树的关键码插入算法，可实现如代码8.9所示。

```
1 template <typename T> bool BTree<T>::insert ( const T& e ) { //将关键码e插入B树中
2     BTreeNodePosi(T) v = search ( e ); if ( v ) return false; //确认目标节点不存在
3     Rank r = _hot->key.search ( e ); //在节点_hot的有序关键码向量中查找合适的插入位置
4     _hot->key.insert ( r + 1, e ); //将新关键码插至对应的位置
5     _hot->child.insert ( r + 2, NULL ); //创建一个空子树指针
6     _size++; //更新全树规模
7     solveOverflow ( _hot ); //如有必要，需做分裂
8     return true; //插入成功
9 }
```

代码8.9 B-树关键码的插入

为在B-树中插入一个新的关键码 e ，首先调用 $\text{search}(e)$ 在树中查找该关键码。若查找成功，则按照“禁止重复关键码”的约定不予插入，操作即告完成并返回 false 。

否则，按照代码8.8的出口约定，查找过程必然终止于某一外部节点 v ，且其父节点由变量 $_hot$ 指示。当然，此时的 $_hot$ 必然指向某一叶节点（可能同时也是根节点）。接下来，在该节点中再次查找目标关键码 e 。尽管这次查找注定失败，却可以确定 e 在其中的正确插入位置 r 。最后，只需将 e 插至这一位置。

至此， $_hot$ 所指的节点中增加了一个关键码。若该节点内关键码的总数依然合法（即不超过 $m - 1$ 个），则插入操作随即完成。否则，称该节点发生了一次上溢（overflow），此时需要通过适当的处理，使该节点以及整树重新满足B-树的条件。由代码8.9可见，这项任务将借助调整算法 $\text{solveOverflow}(_hot)$ 来完成。

8.2.6 上溢与分裂

■ 算法

一般地，刚发生上溢的节点，应恰好含有 m 个关键码。若取 $s = \lfloor m/2 \rfloor$ ，则它们依次为：

$$\{ k_0, \dots, k_{s-1}; k_s; k_{s+1}, \dots, k_{m-1} \}$$

可见，以 k_s 为界，可将该节点分前、后两个子节点，且二者大致等长。于是，可令关键码 k_s 上升一层，归入其父节点（若存在）中的适当位置，并分别以这两个子节点作为其左、右孩子。这一过程，称作节点的分裂（split）。

不难验证，如此分裂所得的两个孩子节点，均符合 m 阶B-树关于节点分支数的条件。

可能的情况

以如图8.14(a1)所示的6阶B-树局部为例，其中节点{ 17, 20, 31, 37, 41, 56 }，因所含关键码增至6个而发生上溢。为完成修复，可以关键码37为界，将该节点分裂为{ 17, 20, 31 }和{ 41, 56 }；关键码37则上升一层，并以分裂出来的两个子节点作为左、右孩子。

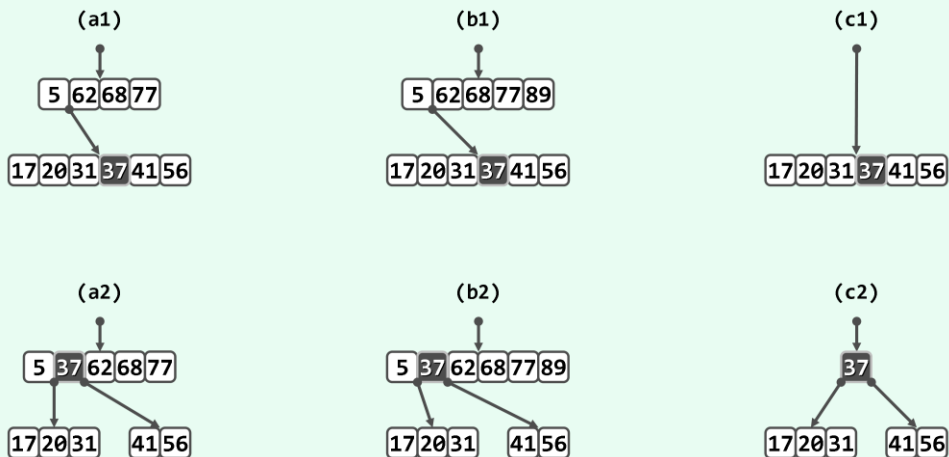


图8.14 通过分裂修复上溢节点

被提升的关键码，可能有三种进一步的处置方式。首先如图(a1)所示，设原上溢节点的父节点存在，且足以接纳一个关键码。此种情况下，只需将被提升的关键码(37)按次序插入父节点中，修复即告完成，修复后的局部如图(a2)所示。

其次如图(b1)所示，尽管上溢节点的父节点存在，但业已处于饱和状态。此时如图(b2)，在强行将被提升的关键码插入父节点之后，尽管上溢节点也可得到修复，却会导致其父节点继而发生上溢——这种现象称作上溢的向上传递。好在每经过一次这样的修复，上溢节点的高度都必然上升一层。这意味着上溢的传递不至于没有尽头，最远不至超过树根。

最后如图(c1)所示，若上溢果真传递至根节点，则可令被提升的关键码(37)自成一个节点，并作为新的树根。于是如图(c2)所示，至此上溢修复完毕，全树增高一层。可见，整个过程中所做分裂操作的次数，必不超过全树的高度——根据8.2.4节结论，即 $O(\log_m N)$ 。

实现

以上针对上溢的处理算法，可实现如代码8.10所示。

```
1 template <typename T> //关键码插入后若节点上溢，则做节点分裂处理
2 void BTree<T>::solveOverflow ( BTreeNodePosi(T) v ) {
3     if ( _order >= v->child.size() ) return; //递归基：当前节点并未上溢
4     Rank s = _order / 2; //轴点（此时应有_order = key.size() = child.size() - 1）
5     BTreeNodePosi(T) u = new BTreeNode<T>(); //注意：新节点已有一个空孩子
6     for ( Rank j = 0; j < _order - s - 1; j++ ) { //v右侧_order-s-1个孩子及关键码分裂为右侧节点u
7         u->child.insert ( j, v->child.remove ( s + 1 ) ); //逐个移动效率低
8         u->key.insert ( j, v->key.remove ( s + 1 ) ); //此策略可改进
9     }
10    u->child[_order - s - 1] = v->child.remove ( s + 1 ); //移动v最靠右的孩子
```

```

11  if ( u->child[0] ) //若u的孩子非空, 则
12      for ( Rank j = 0; j < _order - s; j++ ) //令它们的父节点统一
13          u->child[j]->parent = u; //指向u
14  BTreeNodePosi(T) p = v->parent; //v当前的父节点p
15  if ( !p ) { _root = p = new BTreeNode<T>(); p->child[0] = v; v->parent = p; } //若p空则创建之
16  Rank r = 1 + p->key.search ( v->key[0] ); //p中指向u的指针的秩
17  p->key.insert ( r, v->key.remove ( s ) ); //轴点关键码上升
18  p->child.insert ( r + 1, u ); u->parent = p; //新节点u与父节点p互联
19  solveOverflow ( p ); //上升一层, 如有必要则继续分裂——至多递归O(logn)层
20 }

```

代码8.10 B-树节点的上溢处理

请特别留意上溢持续传播至根的情况：原树根分裂之后，新创建的树根仅含单关键码。由此也可看出，就B-树节点分支数的下限要求而言，树根节点的确应该作为例外。

■ 实例

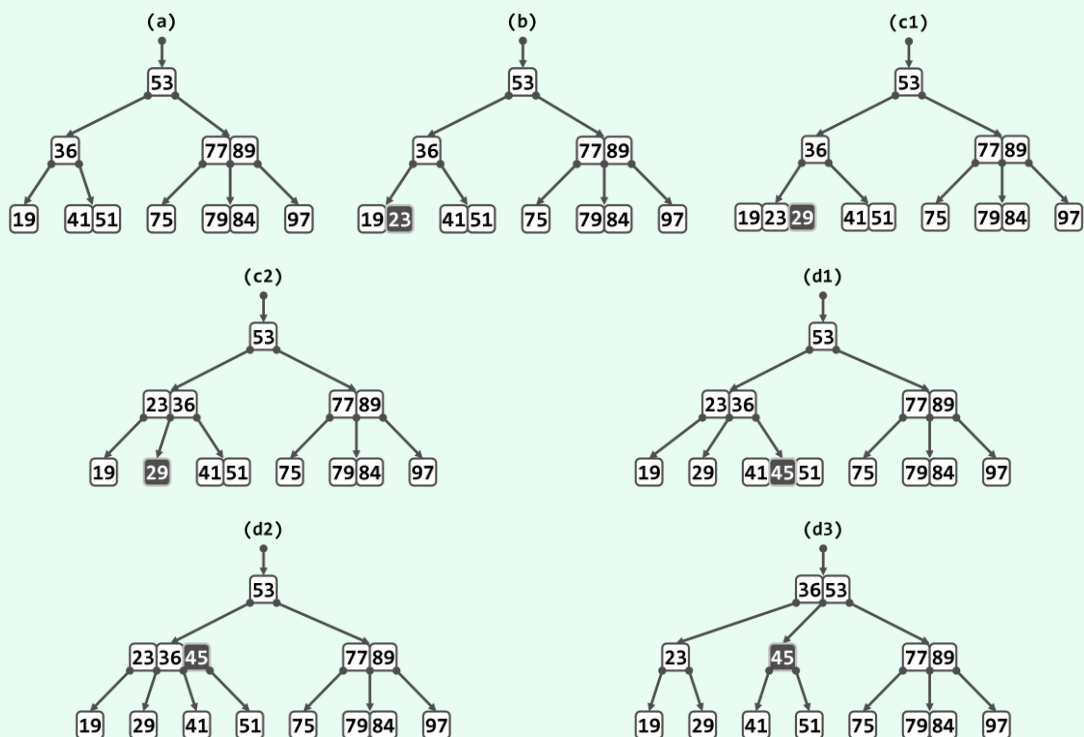


图8.15 3阶B-树插入操作实例 (I)

考查如图8.15(a)所示的3阶B-树。执行insert(23)后未发生任何上溢；如(b)所示不必做任何调整。接下来执行insert(29)后，如图(c1)所示发生上溢；经一次分裂即完全修复，结果如图(c2)所示。继续执行insert(45)后，如图(d1)所示发生上溢；经分裂做局部修复之后，如图(d2)所示上一层再次发生上溢；经再次分裂后，方得以实现全树的修复，结果如图(d3)所示。

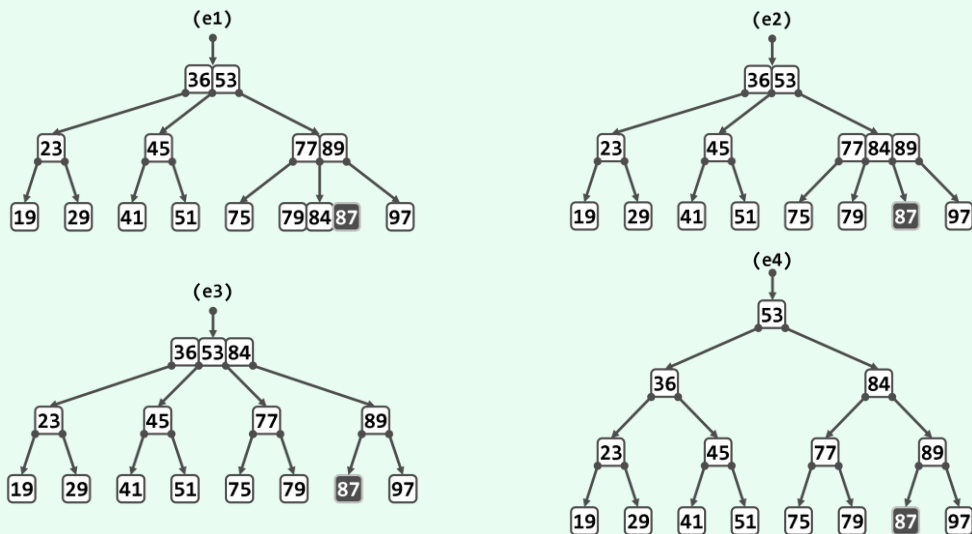


图8.16 3阶B-树插入操作实例 (II)

最后, 执行`insert(87)`后如图8.16(e1)所示亦发生上溢; 经局部分裂调整后, 在更高层将持续发生上溢, 故如图(e2)、(e3)和(e4)所示, 先后总共经三次分裂, 方得以实现全树的修复。此时因一直分裂至根节点, 故最终全树高度增加一层——这也是B-树长高的唯一可能。

■ 复杂度

若将B-树的阶次 m 视作为常数, 则关键码的移动和复制操作所需的时间都可以忽略。至于`solveOverflow()`算法, 其每一递归实例均只需常数时间, 递归层数不超过B-树高度。由此可知, 对于存有 N 个关键码的 m 阶B-树, 每次插入操作都可在 $O(\log_m N)$ 时间内完成。

实际上, 因插入操作而导致 $O(\log_m N)$ 次分裂的情况极为罕见, 单次插入操作平均引发的分裂次数, 远远低于这一估计 (习题[8-6]), 故时间通常主要消耗于对目标关键码的查找。

8.2.7 关键码删除

```

1 template <typename T> bool BTree<T>::remove ( const T& e ) { //从BTree树中删除关键码e
2     BTreeNodePosi(T) v = search ( e ); if ( !v ) return false; //确认目标关键码存在
3     Rank r = v->key.search ( e ); //确定目标关键码在节点v中的秩 ( 由上, 肯定合法 )
4     if ( v->child[0] ) { //若v非叶子, 则e的后继必属于某叶节点
5         BTreeNodePosi(T) u = v->child[r+1]; //在右子树中一直向左, 即可
6         while ( u->child[0] ) u = u->child[0]; //找出e的后继
7         v->key[r] = u->key[0]; v = u; r = 0; //并与之交换位置
8     } //至此, v必然位于最底层, 且其中第r个关键码就是待删除者
9     v->key.remove ( r ); v->child.remove ( r + 1 ); _size--; //删除e, 以及其下两个外部节点之一
10    solveUnderflow ( v ); //如有必要, 需做旋转或合并
11    return true;
12 }
```

代码8.11 B-树关键码的删除

B-树的关键码删除算法的实现如代码8.11所示。

为从B-树中删除关键码 e ，也首先需要调用 $\text{search}(e)$ 查找 e 所属的节点。倘若查找失败，则说明关键码 e 尚不存在，删除操作即告完成；否则按照代码8.8的出口约定，目标关键码所在的节点必由返回的位置 v 指示。此时，通过顺序查找，即可进一步确定 e 在节点 v 中的秩 r 。

不妨假定 v 是叶节点——否则， e 的直接前驱（后继）在其左（右）子树中必然存在，而且可在 $O(\text{height}(v))$ 时间内确定它们的位置，其中 $\text{height}(v)$ 为节点 v 的高度。此处不妨选用直接后继。于是， e 的直接后继关键码所属的节点 u 必为叶节点，且该关键码就是其中的最小者 $u[0]$ 。既然如此，只要令 e 与 $u[0]$ 互换位置，即可确保待删除的关键码 e 所属的节点 v 是叶节点。

于是，接下来可直接将 e （及其左侧的外部空节点）从 v 中删去。如此，节点 v 中所含的关键码以及（空）分支将分别减少一个。

此时，若该节点所含关键码的总数依然合法（即不少于 $\lceil m/2 \rceil - 1$ ），则删除操作随即完成。否则，称该节点发生了下溢（underflow），并需要通过适当的处置，使该节点以及整树重新满足B-树的条件。由代码8.11可见，这项任务将借助调整算法 $\text{solveUnderflow}(v)$ 来完成。

8.2.8 下溢与合并

由上，在 m 阶B-树中，刚发生下溢的节点 v 必恰好包含 $\lceil m/2 \rceil - 2$ 个关键码和 $\lceil m/2 \rceil - 1$ 个分支。以下将根据其左、右兄弟所含关键码的数目，分三种情况做相应的处置。

■ v 的左兄弟 L 存在，且至少包含 $\lceil m/2 \rceil$ 个关键码

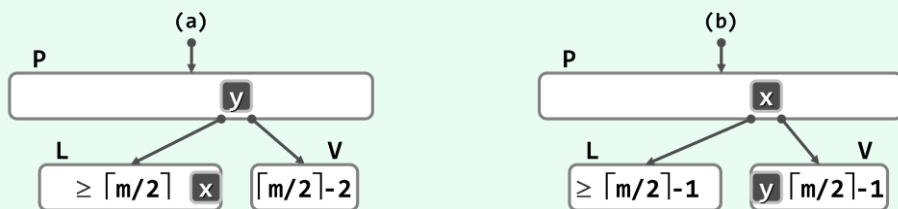


图8.17 下溢节点向父亲“借”一个关键码，父亲再向左兄弟“借”一个关键码

如图8.17(a)所示，不妨设 L 和 V 分别是其父节点 P 中关键码 y 的左、右孩子， L 中最大关键码为 x ($x \leq y$)。此时可如图(b)所示，将 y 从节点 P 转移至节点 V 中（作为最小关键码），再将 x 从 L 转移至 P 中（取代原关键码 y ）。至此，局部乃至整树都重新满足B-树条件，下溢修复完毕。

■ v 的右兄弟 R 存在，且至少包含 $\lceil m/2 \rceil$ 个关键码

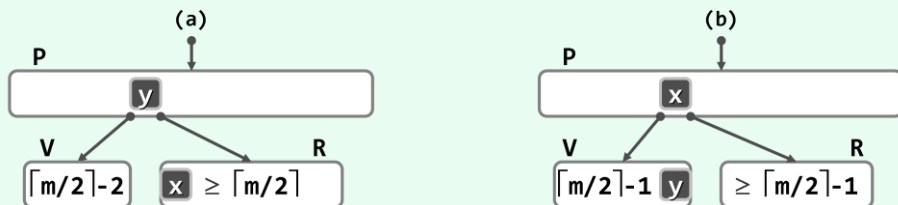


图8.18 下溢节点向父亲“借”一个关键码，父亲再向右兄弟“借”一个关键码

如图8.18所示，可参照前一情况对称地修复，不再赘述。

■ V的左、右兄弟L和R或者不存在，或者其包含的关键码均不足 $\lceil m/2 \rceil$ 个

实际上，此时的L和R不可能同时不存在。如图8.19(a)所示，不失一般性地设左兄弟节点L存在。当然，此时节点L应恰好包含 $\lceil m/2 \rceil - 1$ 个关键码。

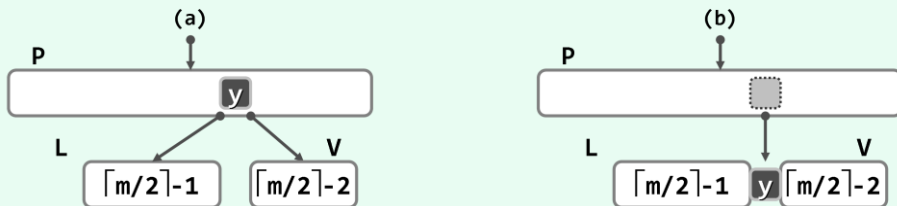


图8.19 下溢节点向父亲“借”一个关键码，然后与左兄弟“粘接”成一个节点

于是为修复节点V的下溢缺陷，可如图(b)所示，从父节点P中抽出介于L和V之间的关键码y，并通过该关键码将节点L和V“粘接”成一个节点——这一过程称作节点的合并(merge)。注意，在经如此合并而得新节点中，关键码总数应为：

$$(\lceil m/2 \rceil - 1) + 1 + (\lceil m/2 \rceil - 2) = 2 \times \lceil m/2 \rceil - 2 \leq m - 1$$

故原节点V的下溢缺陷得以修复，而且同时也不致于反过来引发上溢。

接下来，还须检查父节点P——关键码y的删除可能致使该节点出现下溢。好在，即便如此，也尽可套用上述三种方法继续修复节点P。当然，修复之后仍可能导致祖父节点以及更高层节点的下溢——这种现象称作下溢的传递。特别地，当下溢传递至根节点且其中不再含有任何关键码时，即可将其删除并代之以其唯一的孩子节点，全树高度也随之下降一层。

与上溢传递类似地，每经过一次下溢修复，新下溢节点的高度都必然上升一层。再次由8.2.4节的式8-1可知，整个下溢修复的过程中至多需做 $O(\log_m N)$ 次节点合并操作。

■ 实现

对下溢节点的整个处理过程，如代码8.12所示。

```
1 template <typename T> //关键码删除后若节点下溢，则做节点旋转或合并处理
2 void BTree<T>::solveUnderflow ( BTreeNodePosi(T) v ) {
3     if ( ( _order + 1 ) / 2 <= v->child.size() ) return; //递归基：当前节点并未下溢
4     BTreeNodePosi(T) p = v->parent;
5     if ( !p ) { //递归基：已到根节点，没有孩子的下限
6         if ( !v->key.size() && v->child[0] ) {
7             //但倘若作为树根的v已不含关键码，却有（唯一的）非空孩子，则
8             _root = v->child[0]; _root->parent = NULL; //这个节点可被跳过
9             v->child[0] = NULL; release ( v ); //并因不再有用而被销毁
10        } //整树高度降低一层
11        return;
12    }
13    Rank r = 0; while ( p->child[r] != v ) r++;
14    //确定v是p的第r个孩子——此时v可能不含关键码，故不能通过关键码查找
15    //另外，在实现了孩子指针的判等器之后，也可直接调用Vector::find()定位
16    //情况1：向左兄弟借关键码
```

```

17  if ( 0 < r ) { //若v不是p的第一个孩子，则
18      BTreeNodePosi(T) ls = p->child[r - 1]; //左兄弟必存在
19      if ( ( _order + 1 ) / 2 < ls->child.size() ) { //若该兄弟足够“胖”，则
20          v->key.insert ( 0, p->key[r - 1] ); //p借出一个关键码给v ( 作为最小关键码 )
21          p->key[r - 1] = ls->key.remove ( ls->key.size() - 1 ); //ls的最大关键码转入p
22          v->child.insert ( 0, ls->child.remove ( ls->child.size() - 1 ) );
23          //同时ls的最右侧孩子过继给v
24          if ( v->child[0] ) v->child[0]->parent = v; //作为v的最左侧孩子
25          return; //至此，通过右旋已完成当前层 ( 以及所有层 ) 的下溢处理
26      }
27  } //至此，左兄弟要么为空，要么太“瘦”
28  // 情况2：向右兄弟借关键码
29  if ( p->child.size() - 1 > r ) { //若v不是p的最后一个孩子，则
30      BTreeNodePosi(T) rs = p->child[r + 1]; //右兄弟必存在
31      if ( ( _order + 1 ) / 2 < rs->child.size() ) { //若该兄弟足够“胖”，则
32          v->key.insert ( v->key.size(), p->key[r] ); //p借出一个关键码给v ( 作为最大关键码 )
33          p->key[r] = rs->key.remove ( 0 ); //rs的最小关键码转入p
34          v->child.insert ( v->child.size(), rs->child.remove ( 0 ) );
35          //同时rs的最左侧孩子过继给v
36          if ( v->child[v->child.size() - 1] ) //作为v的最右侧孩子
37              v->child[v->child.size() - 1]->parent = v;
38          return; //至此，通过左旋已完成当前层 ( 以及所有层 ) 的下溢处理
39      }
40  } //至此，右兄弟要么为空，要么太“瘦”
41  // 情况3：左、右兄弟要么为空 ( 但不可能同时 )，要么都太“瘦”——合并
42  if ( 0 < r ) { //与左兄弟合并
43      BTreeNodePosi(T) ls = p->child[r - 1]; //左兄弟必存在
44      ls->key.insert ( ls->key.size(), p->key.remove ( r - 1 ) ); p->child.remove ( r );
45      //p的第r - 1个关键码转入ls，v不再是p的第r个孩子
46      ls->child.insert ( ls->child.size(), v->child.remove ( 0 ) );
47      if ( ls->child[ls->child.size() - 1] ) //v的最左侧孩子过继给ls做最右侧孩子
48          ls->child[ls->child.size() - 1]->parent = ls;
49      while ( !v->key.empty() ) { //v剩余的关键码和孩子，依次转入ls
50          ls->key.insert ( ls->key.size(), v->key.remove ( 0 ) );
51          ls->child.insert ( ls->child.size(), v->child.remove ( 0 ) );
52          if ( ls->child[ls->child.size() - 1] ) ls->child[ls->child.size() - 1]->parent = ls;
53      }
54      release ( v ); //释放v
55  } else { //与右兄弟合并
56      BTreeNodePosi(T) rs = p->child[r + 1]; //右兄弟必存在
57      rs->key.insert ( 0, p->key.remove ( r ) ); p->child.remove ( r );
58      //p的第r个关键码转入rs，v不再是p的第r个孩子

```

```

59     rs->child.insert ( 0, v->child.remove ( v->child.size() - 1 ) );
60     if ( rs->child[0] ) rs->child[0]->parent = rs; //v的最左侧孩子过继给rs做最右侧孩子
61     while ( !v->key.empty() ) { //v剩余的关键码和孩子, 依次转入rs
62         rs->key.insert ( 0, v->key.remove ( v->key.size() - 1 ) );
63         rs->child.insert ( 0, v->child.remove ( v->child.size() - 1 ) );
64         if ( rs->child[0] ) rs->child[0]->parent = rs;
65     }
66     release ( v ); //释放v
67 }
68 solveUnderflow ( p ); //上升一层, 如有必要则继续分裂——至多递归O(logn)层
69 return;
70 }

```

代码8.12 B-树节点的下溢处理

如前所述, 若下溢现象持续传播至树根, 且树根当时仅含一个关键码。于是, 在其仅有的两个孩子被合并、仅有的一个关键码被借出之后, 原树根将退化为单分支节点。对这一特殊情况, 需删除该树根, 并以刚合并而成的节点作为新的树根——整树高度也随之降低一层。

■ 实例

考查如图8.20(a)所示的3阶B-树。

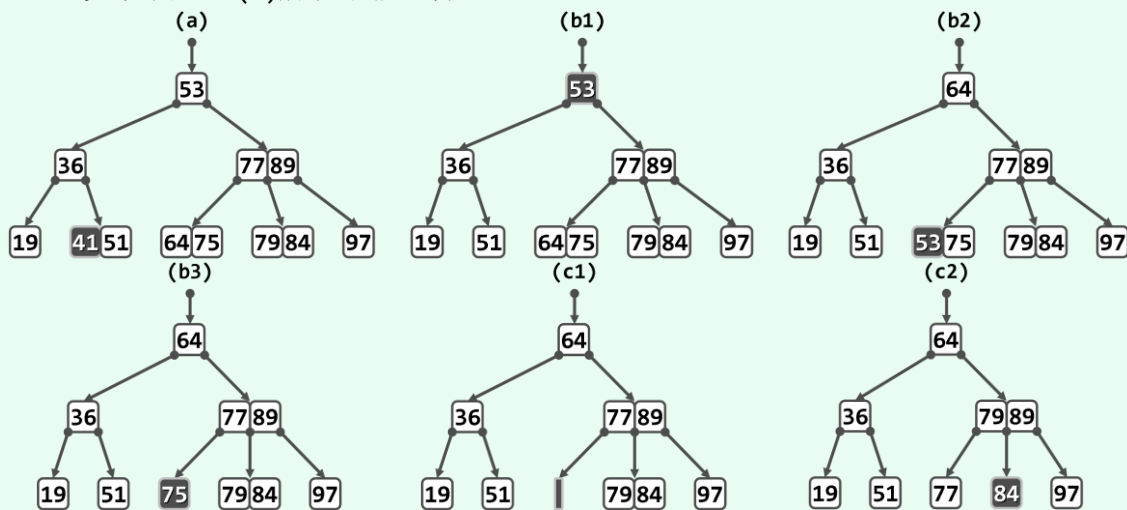


图8.20 3阶B-树删除操作实例 (I)

首先执行`remove(41)`: 因关键码41来自底层叶节点, 且从中删除该关键码后未发生下溢, 故无需修复, 结果如图(b1)所示。接下来执行`remove(53)`: 因关键码53并非来自底层叶节点, 故在将该关键码与其直接后继64交换位置之后, 如图(b2)所示关键码, 53必属于某底层叶节点; 在删除该关键码之后, 其所属节点并未发生下溢, 故亦无需修复, 结果如图(b3)所示。

然后执行`remove(75)`: 关键码75来自底层叶节点, 故被直接删除后其所属节点如图(c1)所示发生下溢; 在经父节点中转, 从右侧兄弟间接借得一个关键码之后, 结果如图(c2)所示。

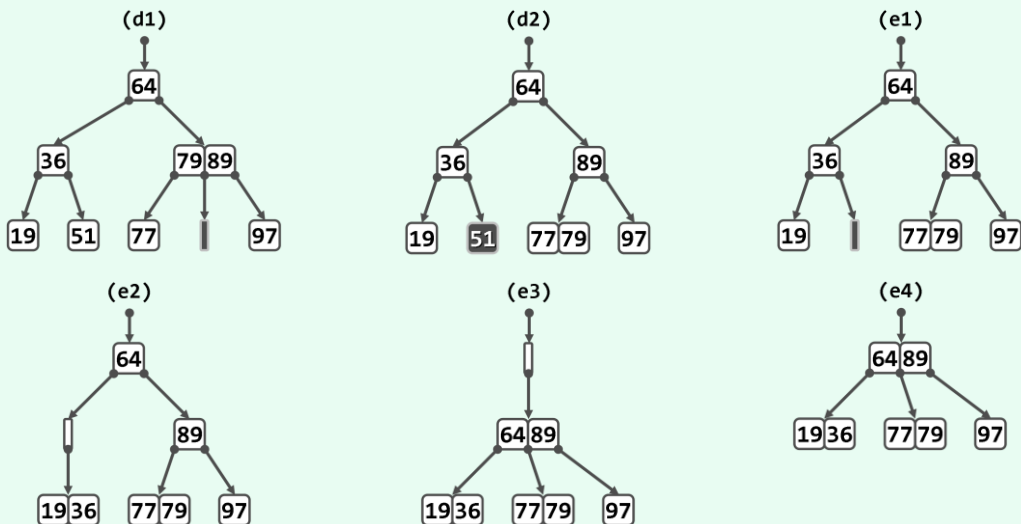


图8.21 3阶B-树删除操作实例 (II)

继续执行`remove(84)`：同样地，删除关键码84后，其原属底层叶节点如以图8.21(d1)所示发生下溢；此时左、右兄弟均无法借出关键码，故在从父节点借得关键码79后，该下溢节点可与其左侧兄弟合并；父节点借出一个关键码之后尚未下溢，故结果如图(d2)所示。

最后执行`remove(51)`：删除关键码51后，其原属底层叶节点如图(e1)所示发生下溢；从父节点借得关键码36后，该节点可与左侧兄弟合并，但父节点如图(e2)所示因此发生下溢；从祖父（根）节点借得关键码64后，父节点可与其右侧兄弟合并，但祖父节点如图(e3)所示因此发生下溢。此时已抵达树根，故直接删除空的根节点，如图(e4)所示全树高度降低一层。

■ 复杂度

与插入操作同理，在存有 N 个关键码的 m 阶B-树中的每次关键码删除操作，都可以在 $O(\log_m N)$ 时间内完成。另外同样地，因某一关键码的删除而导致 $\Omega(\log_m N)$ 次合并操作的情况也极为罕见，单次删除操作过程中平均只需做常数级节点的合并。

§ 8.3 *红黑树

平衡二叉搜索树的形式多样，且各具特色。比如，8.1节的伸展树实现简便、无需修改节点结构、分摊复杂度低，但可惜最坏情况下的单次操作需要 $\Omega(n)$ 时间，故难以适用于核电站、医院等对可靠性和稳定性要求极高的场合。反之，7.4节的AVL树尽管可以保证最坏情况下的单次操作速度，但需在节点中嵌入平衡因子等标识；更重要的是，删除操作之后的重平衡可能需做多达 $\Omega(\log n)$ 次旋转，从而频繁地导致全树整体拓扑结构的大幅度变化。

红黑树即是针对后一不足的改进。通过为节点指定颜色，并巧妙地动态调整，红黑树可保证：在每次插入或删除操作之后的重平衡过程中，全树拓扑结构的更新仅涉及常数个节点。尽管最坏情况下需对多达 $\Omega(\log n)$ 个节点重染色，但就分摊意义而言仅为 $O(1)$ 个（习题[8-14]）。

当然，为此首先需在AVL树“适度平衡”标准的基础上，进一步放宽条件。实际上，红黑树所采用的“适度平衡”标准，可大致表述为：**任一节点左、右子树的高度，相差不得超过两倍。**

图8.23针对所有可能的四种情况，分别给出了具体的转换过程。可见，按照上述对应关系，每棵红黑树都等价于一棵 $(2,4)$ -树；前者的每一节点都对应于后者的一个键码。通往黑节点的边，对黑高度有贡献，并在 $(2,4)$ -树中得以保留；通往红节点的边对黑高度没有贡献，在 $(2,4)$ -树中对应于节点内部一对相邻的键码。在本节的插图中，这两类边将分别以实线、虚线示意。

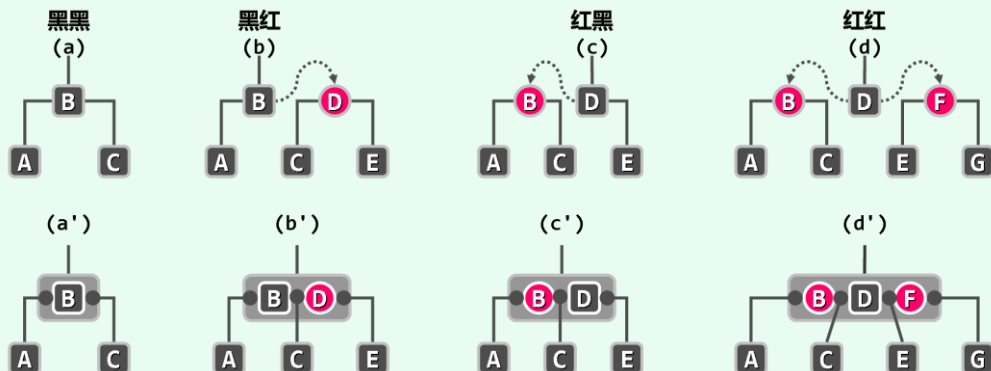


图8.23 红黑树到4阶B-树的等价转换（在完全彩色版尚未出版之前本书约定，分别以圆形、正方形和八角形表示红黑树的红节点、黑节点和颜色未定节点，以长方形表示B-树节点）

为使讲解简洁，在不致引起歧义的前提下，以下将不再严格区分红黑树中的节点及其在 $(2,4)$ -树中对应的键码。当然，照此理解，此时的键码也被赋予了对应的颜色。对照红黑树的条件， $(2,4)$ -树中的每个节点应包含且仅包含一个黑键码，同时红键码不得超过两个。而且，若某个节点果真包含两个红键码，则黑键码的位置必然居中。

平衡性

与所有二叉搜索树一样，红黑树的性能首先取决于其平衡性。那么，红黑树的高度可以在多大范围之内变化呢？实际上，即便计入扩充的外部节点，包含 n 个内部节点的红黑树 T 的高度 h 也不致超过 $O(\log n)$ 。更严格地有：

$$\log_2(n+1) \leq h \leq 2 \cdot \log_2(n+1)$$

左侧的“ \leq ”显然成立，故以下只需证明右侧“ \leq ”也成立。

如图8.24所示，若将 T 的黑高度记作 H ，则 H 也是 T 所对应 $(2,4)$ -树 T_B 的高度，故由8.2.4节关于B-树高度与所含键码总数关系的结论，有：

$$H \leq \log_{\lceil 4/2 \rceil} \left\lfloor \frac{n+1}{2} \right\rfloor + 1 \leq \log_2 \left\lfloor \frac{n+1}{2} \right\rfloor + 1 \leq \log_2(n+1)$$

另一方面，既然任一通路都不含相邻的红节点，故必有：

$$h \leq 2H \leq 2 \cdot \log_2(n+1) = O(\log n)$$

也就是说，尽管红黑树不能如完全树那样可做到理想平衡，也不如AVL树那样可做到较严格的适度平衡，但其高度仍控制在最小高度的两倍以内（习题[8-11]），从渐进的角度看仍是 $O(\log n)$ ，依然保证了适度平衡——这正是红黑树可高效率支持各种操作的基础。

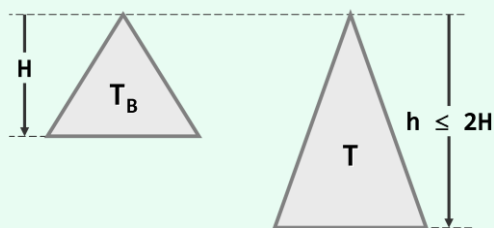


图8.24 红黑树的黑高度不低于高度的一半；反之，高度不超过黑高度的两倍

8.3.2 红黑树接口定义

基于185页代码7.2中的BST模板类，可派生出RedBlack模板类如代码8.13所示。

```
1 #include "../BST/BST.h" //基于BST实现RedBlack
2 template <typename T> class RedBlack : public BST<T> { //RedBlack树模板类
3 protected:
4     void solveDoubleRed ( BinNodePosi(T) x ); //双红修正
5     void solveDoubleBlack ( BinNodePosi(T) x ); //双黑修正
6     int updateHeight ( BinNodePosi(T) x ); //更新节点x的高度
7 public:
8     BinNodePosi(T) insert ( const T& e ); //插入 (重写)
9     bool remove ( const T& e ); //删除 (重写)
10 // BST::search()等其余接口可直接沿用
11 };
```

代码8.13 基于BST定义的红黑树接口

可见，这里直接沿用了二叉搜索树标准的查找算法search()，并根据红黑树的重平衡规则与算法，重写了insert()和remove()接口；新加的两个内部功能接口solveDoubleRed()和solveDoubleBlack()，分别用于在节点插入或删除之后恢复全树平衡。其具体实现稍后介绍。

另外，这里还需使用此前二叉树节点模板类BinNode（117页代码5.1）中预留的两个成员变量height和color。如代码8.14所示，仿照AVL树的实现方式，可借助辅助宏来检查节点的颜色以及判定是否需要更新（黑）高度记录，如此可大大简化相关算法的描述。

```
1 #define IsBlack(p) ( ! (p) || ( RB_BLACK == (p)->color ) ) //外部节点也视作黑节点
2 #define IsRed(p) ( ! IsBlack(p) ) //非黑即红
3 #define BlackHeightUpdated(x) ( /*RedBlack高度更新条件*/ \
4     ( stature( (x).lc ) == stature( (x).rc ) ) && \
5     ( (x).height == ( IsRed(& x) ? stature( (x).lc ) : stature( (x).lc ) + 1 ) ) \
6 )
```

代码8.14 用以简化红黑树算法描述的宏

可见，这里的确并未真正地实现图8.22中所引入的外部节点，而是将它们统一地直接判定为黑“节点”——尽管它们实际上只不过是NULL。其余节点，则一概视作红节点。

```
1 template <typename T> int RedBlack<T>::updateHeight ( BinNodePosi(T) x ) { //更新节点高度
2     x->height = max ( stature ( x->lc ), stature ( x->rc ) ); //孩子一般黑高度相等，除非出现双黑
3     return IsBlack ( x ) ? x->height++ : x->height; //若当前节点为黑，则计入黑深度
4 } //因统一定义stature(NULL) = -1，故height比黑高度少一，好在不致影响到各种算法中的比较判断
```

代码8.15 红黑树节点的黑高度更新

此处的height已不再是指常规的树高，而是红黑树的黑高度。故如代码8.15所示，节点黑高度需要更新的情况共分三种：或者左、右孩子的黑高度不等；或者作为红节点，黑高度与其孩子不相等；或者作为黑节点，黑高度不等于孩子的黑高度加一。

8.3.3 节点插入算法

■ 节点插入与双红现象

如代码8.16所示，不妨假定经调用接口`search(e)`做查找之后，确认目标节点尚不存在。于是，在查找终止的位置`x`处创建节点，并随即将其染成红色（除非此时全树仅含一个节点）。现在，对照红黑树的四项条件，唯有(3)未必满足——亦即，此时`x`的父亲也可能是红色。

```
1 template <typename T> BinNodePosi(T) RedBlack<T>::insert ( const T& e ) { //将e插入红黑树
2     BinNodePosi(T) & x = search ( e ); if ( x ) return x; //确认目标不存在 ( 留意对_hot的设置 )
3     x = new BinNode<T> ( e, _hot, NULL, NULL, -1 ); _size++; //创建红节点x：以_hot为父，黑高度-1
4     solveDoubleRed ( x ); return x ? x : _hot->parent; //经双红修正后，即可返回
5 } //无论e是否存在于原树中，返回时总有x->data == e
```

代码8.16 红黑树`insert()`接口

因新节点的引入，而导致父子节点同为红色的此类情况，称作“双红”（double red）。为修正双红缺陷，可调用`solveDoubleRed(x)`接口。每引入一个关键码，该接口都可能迭代地调用多次。在此过程中，当前节点`x`的兄弟及两个孩子（初始时都是外部节点），始终均为黑色。

将`x`的父亲与祖父分别记作`p`和`g`。既然此前的红黑树合法，故作为红节点`p`的父亲，`g`必然存在且为黑色。`g`作为内部节点，其另一孩子（即`p`的兄弟、`x`的叔父）也必然存在，将其记作`u`。以下，视节点`u`的颜色不同，分两类情况分别处置。

■ 双红修正（RR-1）

首先，考查`u`为黑色的情况。此时，`x`的兄弟、两个孩子的黑高度，均与`u`相等。图8.25(a)和(b)即为此类情况的两种可能（另两种对称情况，请读者独立补充）。

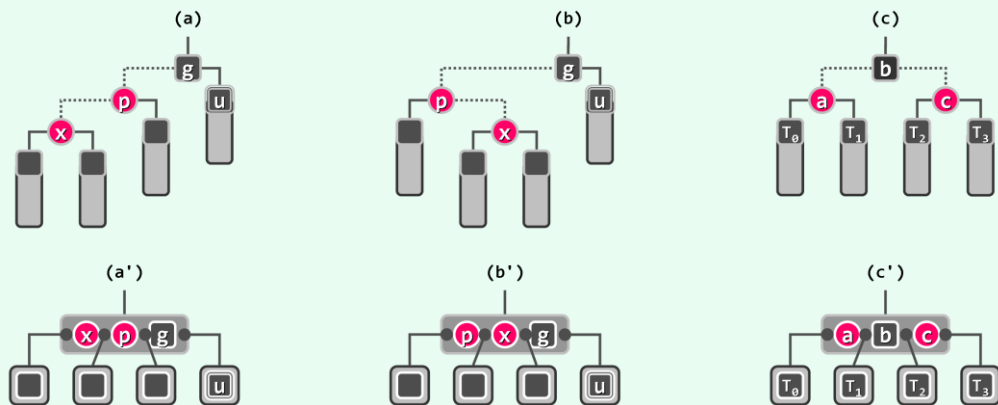


图8.25 双红修正第一种情况（RR-1）及其调整方法（上方、下方分别为红黑树及其对应B-树的局部）

此时红黑树条件(3)的违反，从B-树角度等效地看，即同一节点不应包含紧邻的红色关键码。故如图8.25(c')所示，只需令黑色关键码与紧邻的红色关键码互换颜色。从图(c)红黑树的角度看，这等效于按中序遍历次序，对节点`x`、`p`和`g`及其四棵子树，做一次局部“3 + 4”重构。

不难验证，如此调整之后，局部子树的黑高度将复原，这意味着全树的平衡也必然得以恢复。同时，新子树的根节点`b`为黑色，也不致引发新的双红现象。至此，整个插入操作遂告完成。

■ 双红修正（RR-2）

再考查节点u为红色的情况。此时，u的左、右孩子非空且均为黑色，其黑高度必与x的兄弟以及两个孩子相等。图8.26(a)和(b)给出了两种可能的此类情况（另两种对称情况，请读者独立补充）。此时红黑树条件(3)的违反，从B-树角度等效地看，即该节点因超过4度而发生上溢。

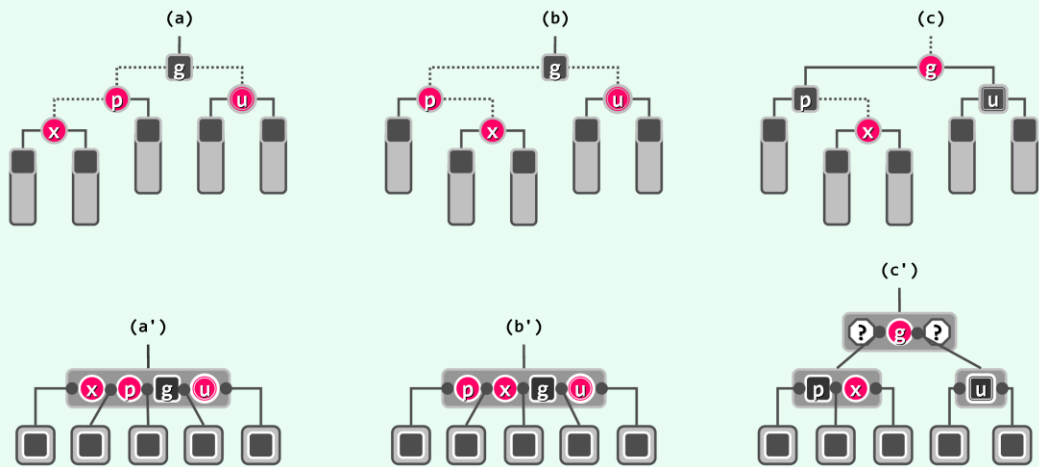


图8.26 双红修正第二种情况（RR-2）及其调整方法（带问号的关键码可能存在）

以图8.26(b)为例。从图(c)红黑树的角度来看，只需将红节点p和u转为黑色，黑节点g转为红色，x保持红色。从图(c')B-树的角度来看，等效于上溢节点的一次分裂。

不难验证，如此调整之后局部子树的黑高度复原。然而，子树根节点g转为红色之后，有可能在更高层再次引发双红现象。从图8.26(c')B-树的角度来看，对应于在关键码g被移出并归入上层节点之后，进而导致上层节点的上溢——即上溢的向上传播。

若果真如此，可以等效地将g视作新插入的节点，同样地分以上两类情况如法处置。请注意，每经过一次这样的迭代，节点g都将在B-树中（作为关键码）上升一层，而在红黑树中存在双红缺陷的位置也将相应地上升两层，故累计至多迭代 $O(\log n)$ 次。

特别地，若最后一步迭代之后导致原树根的分裂，并由g独立地构成新的树根节点，则应遵照红黑树条件(1)的要求，强行将其转为黑色——如此，全树的黑高度随即增加一层。

■ 双红修正的复杂度

以上情况的处理流程可归纳为图8.27。其中的重构、染色等局部操作均只需常数时间，故只需统计这些操作在修正过程中被调用的总次数。

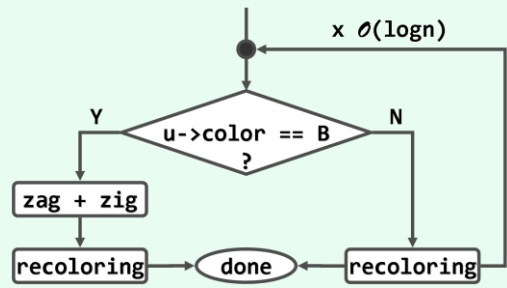


图8.27 双红修正流程图

表8.1 双红修正算法所涉及局部操作的统计

情 况		#旋转	#染色	单轮修正之后
RR-1	u为黑	1~2	2	调整随即完成
RR-2	u为红	0	3	或再次双红 但必上升两层

具体统计,可归纳为表8.1。可见,对于前一种情况,只需做一轮修正;后一种情况虽有可能需要反复修正,但由于修正位置的高度会严格单调上升,故总共也不过 $O(\log n)$ 轮。另外从该表也可看出,每一轮修正只涉及到常数次的节点旋转或染色操作。

因此,节点插入之后的双红修正,累计耗时不会超过 $O(\log n)$ 。即便计入此前的关键码查找以及节点接入等操作,红黑树的每次节点插入操作,都可在 $O(\log n)$ 时间内完成。

需要特别指出的是,只有在RR-1修复时才需做1~2次旋转;而且一旦旋转后,修复过程必然随即完成。故就全树拓扑结构而言,每次插入后仅涉及常数次调整;而且稍后将会看到,红黑树的节点删除操作亦是如此——回顾7.4节的AVL树,却只能保证前一点。

■ 双红修正算法的实现

以上针对双红缺陷的各种修正方法,可以概括并实现如代码8.17所示。

```

1  /*****
2  * RedBlack双红调整算法:解决节点x与其父均为红色的问题。分为两大类情况:
3  *   RR-1: 2次颜色翻转, 2次黑高度更新, 1~2次旋转, 不再递归
4  *   RR-2: 3次颜色翻转, 3次黑高度更新, 0次旋转, 需要递归
5  *****/
6  template <typename T> void RedBlack<T>::solveDoubleRed ( BinNodePosi(T) x ) { //x当前必为红
7      if ( IsRoot ( *x ) ) //若已 (递归) 转至树根, 则将其转黑, 整树黑高度也随之递增
8          { _root->color = RB_BLACK; _root->height++; return; } //否则, x的父亲p必存在
9      BinNodePosi(T) p = x->parent; if ( IsBlack ( p ) ) return; //若p为黑, 则可终止调整。否则
10     BinNodePosi(T) g = p->parent; //既然p为红, 则x的祖父必存在, 且必为黑色
11     BinNodePosi(T) u = uncle ( x ); //以下, 视x叔父u的颜色分别处理
12     if ( IsBlack ( u ) ) { //u为黑色 (含NULL) 时
13         if ( IsLChild ( *x ) == IsLChild ( *p ) ) //若x与p同侧 (即zIg-zIg或zAg-zAg), 则
14             p->color = RB_BLACK; //p由红转黑, x保持红
15         else //若x与p异侧 (即zIg-zAg或zAg-zIg), 则
16             x->color = RB_BLACK; //x由红转黑, p保持红
17         g->color = RB_RED; //g必定由黑转红
18         //以上虽保证总共两次染色, 但因增加了判断而得不偿失
19         //在旋转后将根置黑、孩子置红, 虽需三次染色但效率更高
20         BinNodePosi(T) gg = g->parent; //曾祖父 (great-grand parent)
21         BinNodePosi(T) r = FromParentTo ( *g ) = rotateAt ( x ); //调整后的子树根节点
22         r->parent = gg; //与原曾祖父联接
23     } else { //若u为红色
24         p->color = RB_BLACK; p->height++; //p由红转黑
25         u->color = RB_BLACK; u->height++; //u由红转黑
26         if ( !IsRoot ( *g ) ) g->color = RB_RED; //g若非根, 则转红
27         solveDoubleRed ( g ); //继续调整g (类似于尾递归, 可优化为迭代形式)
28     }
29 }
```

代码8.17 双红修正solveDoubleRed()

8.3.4 节点删除算法

■ 节点删除与双黑现象

```

1 template <typename T> bool RedBlack<T>::remove ( const T& e ) { //从红黑树中删除关键码e
2     BinNodePosi(T) & x = search ( e ); if ( !x ) return false; //确认目标存在 (留意_hot的设置)
3     BinNodePosi(T) r = removeAt ( x, _hot ); if ( ! ( --_size ) ) return true; //实施删除
4 // assert: _hot某一孩子刚被删除, 且被r所指节点 (可能是NULL) 接替。以下检查是否失衡, 并做必要调整
5     if ( ! _hot ) //若刚被删除的是根节点, 则将其置黑, 并更新黑高度
6         { _root->color = RB_BLACK; updateHeight ( _root ); return true; }
7 // assert: 以下, 原x (现r) 必非根, _hot必非空
8     if ( BlackHeightUpdated ( *_hot ) ) return true; //若所有祖先的黑深度依然平衡, 则无需调整
9     if ( IsRed ( r ) ) //否则, 若r为红, 则只需令其转黑
10         { r->color = RB_BLACK; r->height++; return true; }
11 // assert: 以下, 原x (现r) 均为黑色
12     solveDoubleBlack ( r ); return true; //经双黑调整后返回
13 } //若目标节点存在且被删除, 返回true; 否则返回false

```

代码8.18 红黑树remove()接口

如代码8.18所示, 为删除关键码 e , 首先调用标准接口 $BST::search(e)$, 查找目标节点 x 。若查找成功, 则调用内部接口 $removeAt(x)$ 实施删除。按照7.2.6节对该接口所做的语义约定, 其间无论是否做过一次节点交换, 均以 r 指向实际被删除节点 x 的接替者, $p = _hot$ 为其父亲。

不难验证, 此时红黑树的前两个条件继续满足, 但后两个条件却未必依然满足。

如图8.28所示, 除了其接替者 r , x 还应有另一个孩子 w 。既然 x 是实际被删除者, 故 w 必为 (黑色的) 外部节点 NULL。

如图(a)和(a')所示, 若 x 为红色, 则在删除 x 并代之以 r 后, 条件(3~4)依然满足; 反之, 若 x 为黑色, 则要看其替代者 r 的颜色。

如图(b)和(b')所示, 若 r 为红色, 则只需将其翻转为黑色, 即可使条件(3~4)重新满足。

然而如图(c)和(c')所示, 若 x 和 r 均为黑色, 则为使条件(3~4)重新成立, 还需要做略微复杂一些的处理。

因某一无红色孩子的黑节点被删除, 而导致的此类复杂情况, 称作“双黑”(double black)现象。此时, 需从 r 出发调用 $solveDoubleBlack(r)$ 算法予以修正。

自然, 原黑节点 x 的兄弟必然非空, 将其记作 s ; x 的父亲记作 p , 其颜色不确定 (故在图中以八角形示意)。以下视 s 和 p 颜色的不同组合, 按四种情况分别处置。

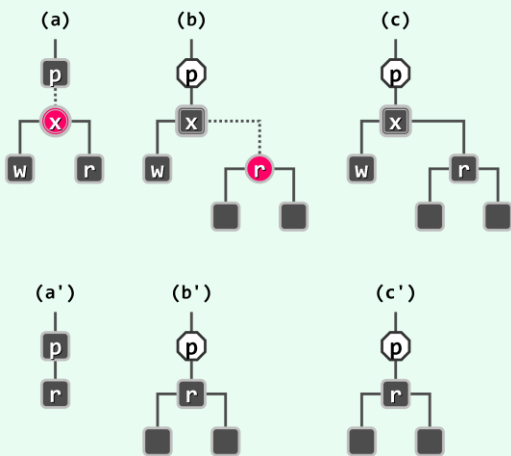


图8.28 删除节点 x 之后, 红黑树条件(4):
(a)或依然满足, (b)或经重染色后重新满足, (c)或不再满足

■ 双黑修正 (BB-1)

既然节点 x 的另一孩子 $w = \text{NULL}$ ，故从B-树角度（图8.29(a'））看节点 x 被删除之后的情况，可以等效地理解为：关键码 x 原所属的节点发生下溢；此时， t 和 s 必然属于B-树的同一节点，且该节点就是下溢节点的兄弟。故可参照B-树的调整方法，下溢节点从父节点借出一个关键码（ p ），然后父节点从向下溢节点的兄弟节点借出一个关键码（ s ），调整后的效果如图(b'）。

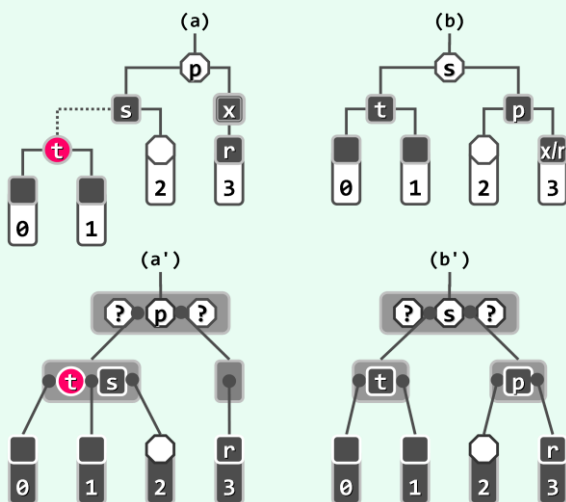


图8.29 双黑修正 (情况BB-1)

(带问号的关键码可能存在，且颜色不定)

从红黑树的角度（图(b)）来看，上述调整过程等效于，对节点 t 、 s 和 p 实施“3 + 4”重构。

此外，根据红黑树与B-树的对应关系不难理解，若这三个节点按中序遍历次序重命名为 a 、 b 和 c ，则还需将 a 和 c 染成黑色， b 则继承 p 此前的颜色。就图8.29的具体实例而言，也就是将 t 和 p 染成黑色， s 继承 p 此前的颜色。注意，整个过程中节点 r 保持黑色不变。

由图8.29(b)（及其对称情况）不难验证，经以上处理之后，红黑树的所有条件，都在这一局部以及全局得到恢复，故删除操作遂告完成。

■ 双黑修正 (BB-2-R)

节点 s 及其两个孩子均为黑色时，视节点 p 颜色的不同，又可进一步分为两种情况。

先考虑 p 为红色的情况。如图8.30(a)所示，即为一种典型的此类情况（与之对称的情况，请读者独立补充）。

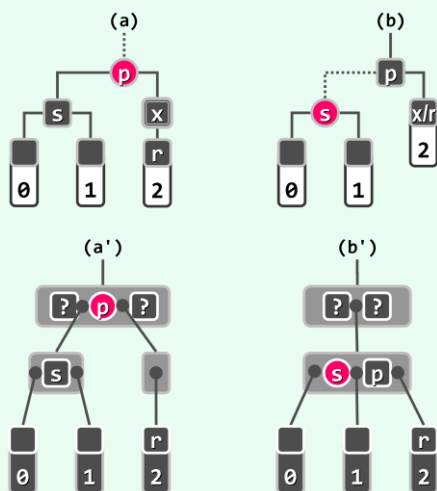


图8.30 双黑修正 (情况BB-2-R)

(带问号的黑关键码可能但不会同时存在)

与BB-1类似，在对应的B-树中，关键码 x 的删除导致其所属的节点下溢。但因此时关键码 s 所在节点只有两个分支，故下溢节点无法从父节点借出关键码（ p ）。

按照8.2.8节的B-树平衡算法，此时应如图(b')所示，将关键码 p 取出并下降一层，然后以之为“粘合剂”，将原左、右孩子合并为一个节点。从红黑树角度看，这一过程可如图(b)所示等效地理解为： s 和 p 颜色互换。

由图8.30(b)（及其对称情况）可知，经过以上处理，红黑树的所有条件都在此局部得以恢复。另外，由于关键码 p 原为红色，故如图8.30(a')所示，在关键码 p 所属节点中，其左或右必然还有一个黑色关键码（当然，不可能左、右兼有）——这意味着，在关键码 p 从其中取出之后，不致引发新的下溢。至此，红黑树条件亦必在全球得以恢复，删除操作即告完成。

■ 双黑修正 (BB-2-B)

接下来, 再考虑节点 s 、 s 的两个孩子以及节点 p 均为黑色的情况。

如图8.31(a)所示, 即为一种典型的此类情况 (与之对称的情况, 请读者独立补充)。此时与BB-2-R类似, 在对应的B-树中, 因关键码 x 的删除, 导致其所属节点发生下溢。

因此可如图(b')所示, 将下溢节点与其兄弟合并。从红黑树的角度来看, 这一过程可如图(b)所示等效地理解为: 节点 s 由黑转红。

由图8.31(b) (及其对称情况) 可知, 经以上处理, 红黑树所有条件都在此局部得到恢复。

然而, 因 s 和 x 在此之前均为黑色, 故如图8.31(a')所示, p 原所属的B-树节点必然仅含 p 这一个关键码。于是在 p 被借出之后, 该节点必将继而发生下溢, 故有待于后续进一步修正。

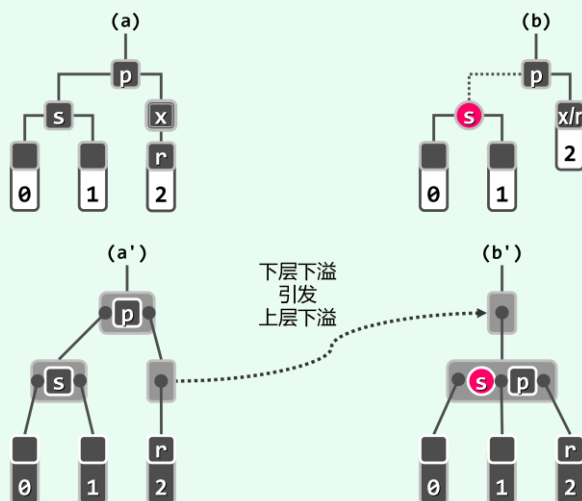


图8.31 双黑修正 (情况BB-2-B)

从红黑树的角度来看, 此时的状态可等效地理解为: 节点 p 的父节点刚被删除。当然, 可以按照本节所介绍的算法, 视具体的情况继续调整。

实际上稍后总结时将会看出, 这也是双黑修正过程中, 需要再次迭代的唯一可能。幸运的是, 尽管此类情况可能持续发生, 下溢的位置也必然不断上升, 故至多迭代 $O(\log n)$ 次后必然终止。

■ 双黑修正 (BB-3)

最后, 考虑节点 s 为红色的情况。如图8.32(a)所示, 即为一种典型的此类情况 (与之对称的情况, 请读者独立补充)。此时, 作为红节点 s 的父亲, 节点 p 必为黑色; 同时, s 的两个孩子也应均为黑色。

于是从B-树的角度来看, 只需如图(b')所示, 令关键码 s 与 p 互换颜色, 即可得到一棵与之完全等价的B-树。而从红黑树的角度来看, 这一转换对应于以节点 p 为轴做一次旋转, 并交换节点 s 与 p 的颜色。

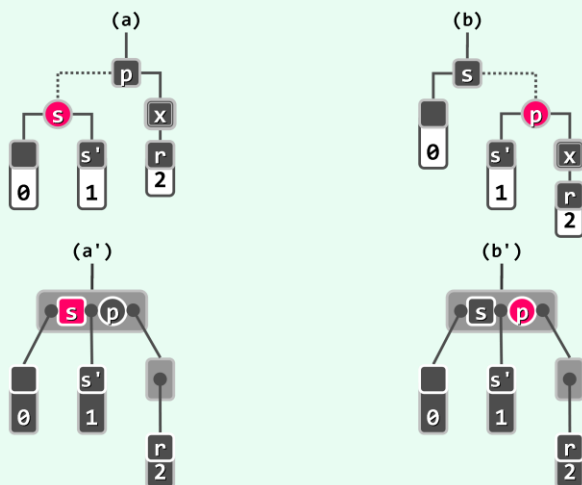


图8.32 双黑修正 (情况BB-3)

读者可能会发现, 经过如此处理之后, 双黑缺陷依然存在, 而且缺陷位置的高度也并未上升。既然如此, 这一步调整的意义又何在呢?

实际上，经过这一转换之后，情况已经发生了微妙而本质的变化。仔细观察图(b)不难发现，在转换之后的红黑树中，被删除节点 x （及其替代者节点 r ）有了一个新的兄弟 s' ——与此前的兄弟 s 不同， s' 必然是黑的！这就意味着，接下来可以套用此前所介绍其它情况的处置方法，继续并最终完成双黑修正。

还有一处本质的变化，同样需要注意：现在的节点 p ，也已经黑色转为红色。因此接下来即便需要继续调整，必然既不可能转换回此前的情况BB-3，也不可能转入可能需要反复迭代的情况BB-2-B。实际上反过来，此后只可能转入更早讨论过的两类情况——BB-1或BB-2-R。这就意味着，接下来至多再做一步迭代调整，整个双黑修正的任务即可大功告成。

■ 双黑修正的复杂度

以上各种情况的处理流程，可以归纳为图8.33。

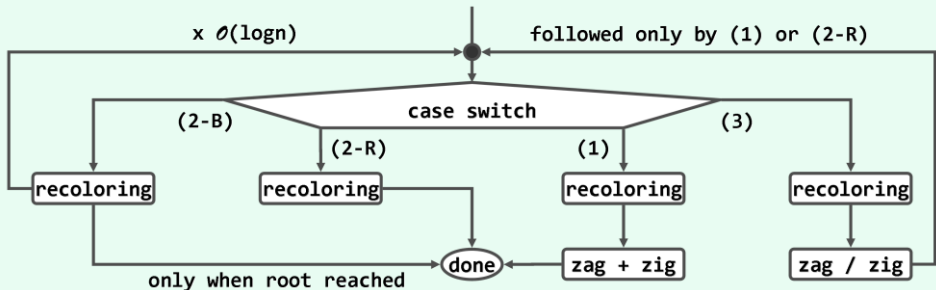


图8.33 双黑修正流程图

其中涉及的重构、染色等局部操作，均可在常数时间内完成，故为了估计整个双黑修正过程的时间复杂度，也只需统计这些操作各自的累计执行次数。具体统计可归纳为表8.2。

表8.2 双黑修正算法所涉及局部操作的统计

情 况		#旋转	#染色	单轮修正之后
BB-1	黑s有红子t	1~2	3	调整随即完成
BB-2-R	黑s无红子，p红	0	2	调整随即完成
BB-2-B	黑s无红子，p黑	0	1	必然再次双黑，但将上升一层
BB-3	红s	1	2	转为(BB-1)或(BB-2-R)

可见，前两种情况各自只需做一轮修正，最后一种情况亦不过两轮。

情况BB-2-B虽可能需要反复修正，但由于待修正位置的高度严格单调上升，累计也不致过 $O(\log n)$ 轮，故双黑修正过程总共耗时不超过 $O(\log n)$ 。即便计入此前的关键码查找和节点摘除操作，红黑树的节点删除操作总是可在 $O(\log n)$ 时间内完成。

纵览各种情况，不难确认：一旦在某步迭代中做过节点的旋转调整，整个修复过程便会随即完成。因此与双红修正一样，双黑修正的整个过程，也仅涉及常数次的拓扑结构调整操作。

这一有趣的特性同时也意味着，在每此插入操作之后，拓扑联接关系有所变化的节点绝不会超过常数个——这一点与AVL树（的删除操作）完全不同，也是二者之间最本质的一项差异。

■ 双黑修正算法的实现

以上针对双黑缺陷的各种修正方法，可以概括并实现如代码8.19所示。

```

1  /*****
2  * RedBlack双黑调整算法：解决节点x与被其替代的节点均为黑色的问题
3  * 分为三大类共四种情况：
4  *   BB-1  ：2次颜色翻转，2次黑高度更新，1~2次旋转，不再递归
5  *   BB-2R：2次颜色翻转，2次黑高度更新，0次旋转，不再递归
6  *   BB-2B：1次颜色翻转，1次黑高度更新，0次旋转，需要递归
7  *   BB-3  ：2次颜色翻转，2次黑高度更新，1次旋转，转为BB-1或BB2R
8  *****/
9  template <typename T> void RedBlack<T>::solveDoubleBlack ( BinNodePosi(T) r ) {
10     BinNodePosi(T) p = r ? r->parent : _hot; if ( !p ) return; //r的父亲
11     BinNodePosi(T) s = ( r == p->lc ) ? p->rc : p->lc; //r的兄弟
12     if ( IsBlack ( s ) ) { //兄弟s为黑
13         BinNodePosi(T) t = NULL; //s的红孩子（若左、右孩子皆红，左者优先；皆黑时为NULL）
14         if ( HasLChild ( *s ) && IsRed ( s->lc ) ) t = s->lc;
15         else if ( HasRChild ( *s ) && IsRed ( s->rc ) ) t = s->rc;
16         if ( t ) { //黑s有红孩子：BB-1
17             RBColor oldColor = p->color; //备份原子树根节点p颜色，并对t及其父亲、祖父
18             BinNodePosi(T) b = FromParentTo ( *p ) = rotateAt ( t ); //重平衡，并将新子树的左、右
                孩子染黑
19             if ( HasLChild ( *b ) ) b->lc->color = RB_BLACK; updateHeight ( b->lc ); //左孩子
20             if ( HasRChild ( *b ) ) b->rc->color = RB_BLACK; updateHeight ( b->rc ); //右孩子
21             b->color = oldColor; updateHeight ( b ); //新子树根节点继承原根节点的颜色
22         } else { //黑s无红孩子
23             s->color = RB_RED; s->height--; //s转红
24             if ( IsRed ( p ) ) { //BB-2R
25                 p->color = RB_BLACK; //p转黑，但黑高度不变
26             } else { //BB-2B
27                 p->height--; //p保持黑，但黑高度下降
28                 solveDoubleBlack ( p );
29             }
30         }
31     } else { //兄弟s为红：BB-3
32         s->color = RB_BLACK; p->color = RB_RED; //s转黑，p转红
33         BinNodePosi(T) t = IsLChild ( *s ) ? s->lc : s->rc; //取t与其父s同侧
34         _hot = p; FromParentTo ( *p ) = rotateAt ( t ); //对t及其父亲、祖父做平衡调整
35         solveDoubleBlack ( r ); //继续修正r处双黑——此时的p已转红，故后续只能是BB-1或BB-2R
36     }
37 }

```

代码8.19 双黑修正solveDoubleBlack()

§ 8.4 *kd-树

8.4.1 范围查询

■ 一维范围查询

如图8.34所示，许多实际问题，都可归结为如下形式的查询：给定直线 L 上的点集 $P = \{p_0, \dots, p_{n-1}\}$ ，对于任一区间 $R = [x_1, x_2]$ ， P 中的哪些点落在其中？



图8.34 一维范围查询

比如，在校友数据库中查询1970至2000级的学生，或者查询IP介于166.111.68.1至166.111.68.255之间的在线节点等，此类问题统称为一维范围查询（range query）。

■ 蛮力算法

表面看来，一维范围查询问题并不难解决。比如，只需遍历点集 P ，并逐个地花费 $\mathcal{O}(1)$ 时间判断各点是否落在区间 R 内——如此总体运行时间为 $\Theta(n)$ 。这一效率甚至看起来似乎还不差——毕竟在最坏情况下，的确可能有多达 $\Omega(n)$ 个点命中，而直接打印报告也至少需要 $\Omega(n)$ 时间。

然而，当我们试图套用以上策略来处理更大规模的输入点集时，就会发现这种方法显得力不从心。实际上，蛮力算法的效率还有很大的提升空间，这一点可从以下角度看出。

首先，当输入点集的规模大到需要借助外部存储器时，遍历整个点集必然引发大量I/O操作。正如8.2.1节所指出的，此类操作往往是制约算法实际效率提升的最大瓶颈，应尽量予以避免。

另外，当数据点的坐标分布范围较大时，通常的查询所命中的点，在整个输入点集中仅占较低甚至极低的比例。此时，“查询结果的输出需要 $\Omega(n)$ 时间”的借口，已难以令人信服。

■ 预处理

在典型的范围查询应用中，输入点集数据与查询区域的特点迥异。一方面，输入点集 P 通常会在相当长的时间内保持相对固定——数据的这种给出及处理方式，称作批处理（batch）或离线（offline）方式。同时，对于同一输入点集，往往需要针对大量的随机定义区间 R ，反复地进行查询——数据的这种给出及处理方式，称作在线（online）方式。

因此，只要通过适当的预处理，将输入点集 P 提前整理和组织为某种适当的数据结构，就有可能进一步提高此后各次查询操作的效率。

■ 有序向量

最为简便易行的预处理方法，就是在 $\mathcal{O}(n \log n)$ 时间内，将点集 P 组织为一个有序向量。

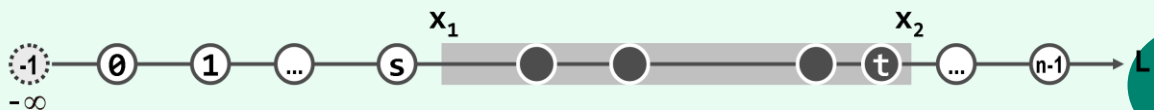


图8.35 通过预先排序，高效地解决一维范围查询问题（ p_{-1} 为假想着引入的哨兵，数值等于 $-\infty$ ）

如图8.35所示，此后对于任何 $R = [x_1, x_2]$ ，首先利用有序向量的查找算法（代码2.20），在 $\mathcal{O}(\log n)$ 时间内找到不大于 x_2 的最大点 p_t 。然后从 p_t 出发，自右向左地遍历向量中的各点，直至第一个离开查询区间的点 p_s 。其间经过的所有点，既然均属于区间范围，故可直接输出。

如此，在每一次查询中， p_t 的定位需要 $O(\log n)$ 时间。若接下来的遍历总共报告出 r 个点，则总体的查询时间成本为 $O(r + \log n)$ 。

请注意，此处估计时间复杂度的方法，不免有点特别。这里，需要同时根据问题的输入规模和输出规模进行估计。一般地，时间复杂度可以这种形式给出的算法，也称作输出敏感的(output sensitive)算法。从以上实例可以看出，与此前较为粗略的最坏情况估计法相比，这种估计方法可以更加准确和客观地反映算法的实际效率。

■ 二维范围查询

接下来的难点和挑战在于，在实际应用中，往往还需要同时对多个维度做范围查找。以人事数据库为例，诸如“年龄介于某个区间，而且工资介于某个区间”之类的组合查询十分普遍。

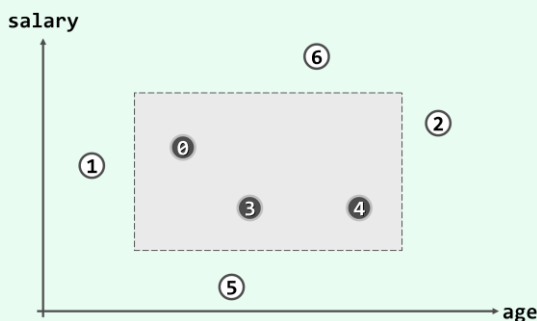


图8.36 平面范围查询 (planar range query)

如图8.36所示，若将年龄与工资分别表示为两个正交维度，则人事数据库中的记录，将对应于二维平面上（第一象限内）的点。于是相应地，这类查询都可以抽象为在二维平面上，针对某一相对固定的点集的范围查询，其查询范围可描述为矩形 $R = [x_1, x_2] \times [y_1, y_2]$ 。

很遗憾，上述基于二分查找的方法并不能直接推广至二维情况，更不用说更高维的情况了，因此必须另辟蹊径，尝试其它策略。

■ 平衡二叉搜索树

我们还是回到该问题的一维版本，并尝试其它可以推广至二维甚至更高维版本的方法。比如，不妨在 $O(n \log n)$ 时间内，将输出点集组织并转化为如图8.37所示的一棵平衡二叉搜索树。

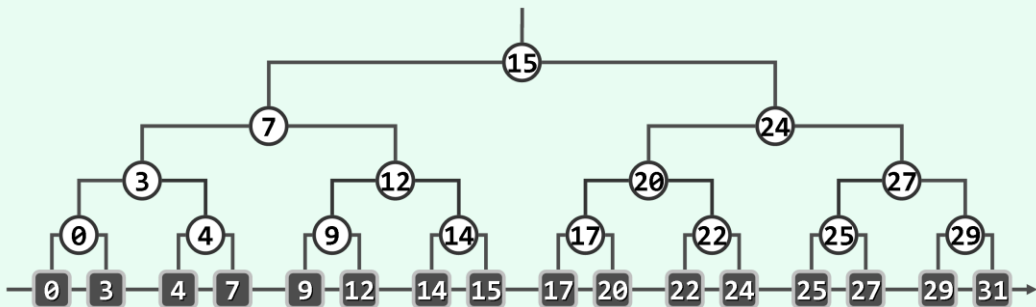


图8.37 平衡二叉搜索树：叶节点存放输入点，内部节点等于左子树中的最大者

请注意，其中各节点的关键码可能重复。不过，如此并不致于增加渐进的空间和时间复杂度：每个关键码至多重复一次，总体依然只需 $O(n)$ 空间；尽管相对于常规二叉搜索树仅多出一层，但树高依然是 $O(\log n)$ 。

如此在空间上所做的些许牺牲，可以换来足够大的收益：查找的过程中，在每一节点处，至多只需做一次（而不是两次）关键码的比较。当然另一方面，无论成功与否，每次查找因此都必然终止于叶节点——不小于目标关键码的最小叶节点。

不难验证，就接口和功能而言，此类形式二叉搜索树，完全对应于和等价于2.6.8节所介绍二分查找算法的版本C（代码2.24）。

■ 查询算法

借助上述形式的平衡二叉搜索树，如何高效地解决一维范围查询问题呢？

仍然继续上例，如图8.38所示，设查询区间为 $[1, 23]$ 。

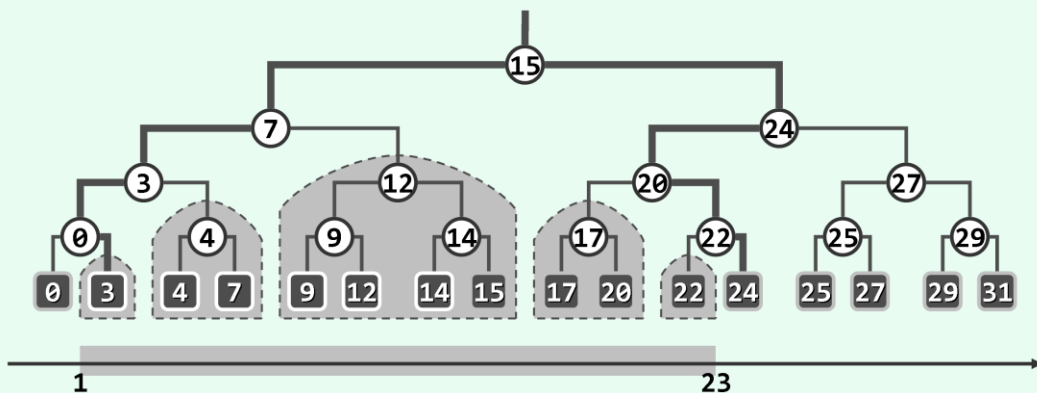


图8.38 借助平衡二叉搜索树解决一维范围查询问题（针对区间端点的两条查找路径加粗示意）

首先，在树中分别查找这一区间的左、右端点1和23，并分别终止于叶节点3和24。

接下来，考查这两个叶节点共同祖先中的最低者，即所谓的最低共同祖先（lowest common ancestor, LCA），具体地亦即

$$\text{lca}(3, 24) = 15$$

然后，从这一共同祖先节点出发，分别重走一遍通往节点3和24的路径（分别记作 $\text{path}(3)$ 和 $\text{path}(24)$ ）。在沿着 $\text{path}(3)/\text{path}(24)$ 下行的过程中，忽略所有的右转/左转；而对于每一次左转/右转，都需要遍历对应的右子树/左子树（图中以阴影示意），并将其中的叶节点悉数报告出来。就本例而言，沿 $\text{path}(3)$ 被报告出来的叶节点子集，依次为：

$$\{ 9, 12, 14, 15 \}, \{ 4, 7 \}, \{ 3 \}$$

沿 $\text{path}(24)$ 被报告出来的叶节点子集，依次为：

$$\{ 17, 20 \}, \{ 22 \}$$

■ 正确性

不难看出，如此分批报告出来的各组节点，都属于查询输出结果的一部分，且它们相互没有重叠。另一方面，除了右侧路径的终点24需要单独地判断一次，其余的各点都必然落在查询范围以外。因此，该算法所报告的所有点，恰好就是所需的查询结果。

■ 效率

在每一次查询过程中，针对左、右端点的两次查找及其路径的重走，各自不过 $O(\log n)$ 时间（实际上，这些操作还可进一步合并精简）。

在树中的每一层次上，两条路径各自至多报告一棵子树，故累计不过 $O(\log n)$ 棵。幸运的是，根据习题[5-11]的结论，为枚举出这些子树中的点，对它们的遍历累计不超过 $O(r)$ 的时间，其中 r 为实际报告的点数。

综合以上分析，每次查询都可在 $O(r + \log n)$ 时间内完成。该查询算法的运行时间也与输出规模相关，故同样属于输出敏感的算法。

新算法的效率尽管并不高于基于有序向量的算法，却可以便捷地推广至二维甚至更高维。

8.4.2 kd-树

循着上一节采用平衡二叉搜索树实现一维查询的构思,可以将待查询的二维点集组织为所谓的kd-树(kd-tree)^⑥结构。在任何的维度下,kd-树都是一棵递归定义的平衡二叉搜索树。

以下不妨以二维情况为例,就2d-树的原理以及构造和查询算法做一介绍。

■ 节点及其矩形区域

具体地,2d-树中的每个节点,都对应于二维平面上的某一矩形区域,且其边界都与坐标轴平行。当然,有些矩形的面积可能无限。

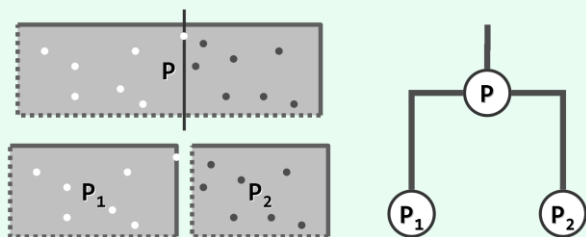


图8.39 2d-树中各节点对应的区域,逐层递归地按所包含的输入点数均衡切分

后面将会看到,同层节点各自对应的矩形区域,经合并之后恰好能够覆盖整个平面,同时其间又不得有任何交叠。因此,不妨如图8.39所示统一约定,每个矩形区域的左边和底边开放,右边和顶边封闭。

■ 构造算法

作为以上条件的特例,树根自然对应于整个平面。一般地如图8.39所示,若P为输入点集与树中当前节点所对应矩形区域的交集(即落在其中的所有点),则可递归地将该矩形区域切分为两个子矩形区域,且各包含P中的一半点。

若当前节点深度为偶(奇)数,则沿垂直(水平)方向切分,所得子区域随同包含的输入点分别构成左、右孩子。如此不断,直至子区域仅含单个输入点。每次切分都在中位点(median point)——按对应的坐标排序居中者——处进行,以保证全树高度不超过 $O(\log n)$ 。

具体地,2d-树的整个构造过程,可形式化地递归描述如算法8.1所示。

```

1 KdTree* buildKdTree(P, d) { //在深度为d的层次,构造一棵对应于(子)集合P的(子)2d-树
2   if (P == {p}) return CreateLeaf(p); //递归基
3   root = CreateKdNode(); //创建(子)树根
4   root->splitDirection = Even(d) ? VERTICAL : HORIZONTAL; //确定划分方向
5   root->splitLine = FindMedian(root->splitDirection, P); //确定中位点
6   (P1, P2) = Divide(P, root->splitDirection, root->splitLine); //子集划分
7   root->lc = buildKdTree(P1, d + 1); //在深度为d + 1的层次,递归构造左子树
8   root->rc = buildKdTree(P2, d + 1); //在深度为d + 1的层次,递归构造右子树
9   return root; //返回(子)树根
10 }
```

算法8.1 构造2d-树

^⑥ 由J. L. Bentley于1975年发明^[46],其名字来源于“k-dimensional tree”的缩写适用于任意指定维度的欧氏空间,并视具体的维度,相应地分别称作2d-树、3d-树、...,等故上节所介绍的一维平衡二叉搜索树,也可称作1d-树

■ 实例

以图8.40(a)为例, 首先创建树根节点, 并指派以整个平面以及全部7个输入点。

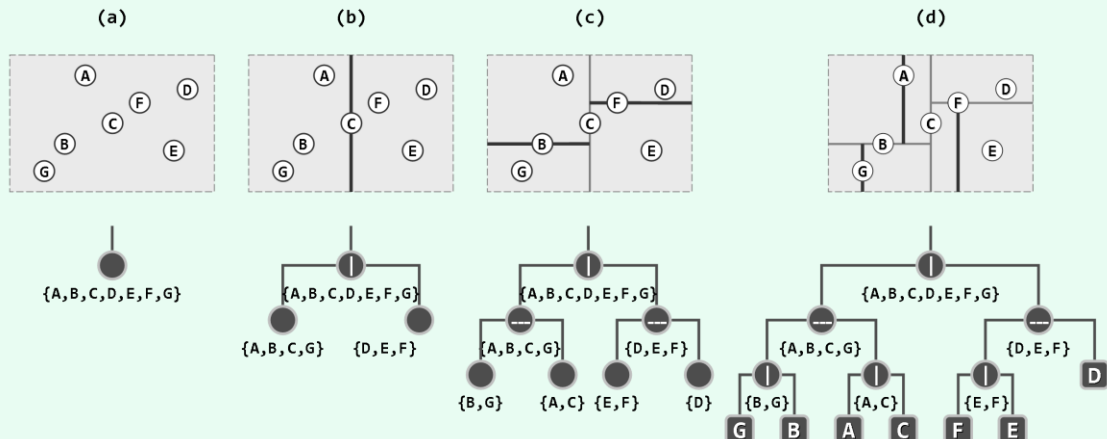


图8.40 2d-树的构造过程, 就是对平面递归划分的过程

第一轮切分如图(b)所示。以水平方向的中位点C为界, 将整个平面分作左、右两半, 点集P也相应地被划分为子集{ A, B, C, G }和{ D, E, F }, 它们随同对应的半平面, 被分别指派给深度为1的两个节点。

第二轮切分如图(c)所示。对于左半平面及其对应的子集{ A, B, C, G }, 以垂直方向的中位点B为界, 将其分为上、下两半, 并分别随同子集{B, G}和{A, C}, 指派给深度为2的一对节点; 对于右半平面及其对应的子集{ D, E, F }, 以垂直方向的中位点F为界, 将其分为上、下两半, 并分别随同子集{ E, F }和{ D }, 指派给深度为2的另一对节点。

最后一轮切分如图(d)所示。对树中仍含有至少两个输入点的三个深度为2的节点, 分别沿其各自水平方向的中位点, 将它们分为左、右两半, 并随同对应的子集分配给三对深度为3的节点。至此, 所有叶节点均只包含单个输入点, 对平面的整个划分过程遂告完成, 同时与原输入点集P对应的一棵2d-树也构造完毕。

8.4.3 基于2d-树的范围查询

■ 过程

经过如上预处理, 将待查询点集P转化为一棵2d-树之后, 对于任一矩形查询区域R, 范围查询的过程均从树根节点出发, 按如下方式递归进行。因为不致歧义, 以下叙述将不再严格区分2d-树节点及其对应的矩形子区域和输入点子集。

在任一节点v处, 若子树v仅含单个节点, 则意味着矩形区域v中仅覆盖单个输入点, 此时可直接判断该点是否落在R内。否则, 不妨假定矩形区域v中包含多个输入点。

此时, 视矩形区域v与查询区域R的相对位置, 无非三种情况:

情况A: 若矩形区域v完全包含于R内, 则其中所有的输入点亦均落在R内, 于是只需遍历一趟子树v, 即可报告这部分输入点。

情况B: 若二者相交, 则有必要分别深入到v的左、右子树中, 继续递归地查询。

情况C: 若二者彼此分离, 则子集v中的点不可能落在R内, 对应的递归分支至此即可终止。

■ 算法

以上查询过程，可递归地描述如算法8.2所示。

```

1  kdSearch(v, R) { //在以v为根节点的(子)2d-树中，针对矩形区域R做范围查询
2    if (isLeaf(v) //若抵达叶节点，则
3        { if (inside(v, R)) report(v); return; } //直接判断，并终止递归
4
5    if (region(v->lc)  $\subseteq$  R) //情况A：若左子树完全包含于R内，则直接遍历
6        reportSubtree(v->lc);
7    else if (region(v->lc)  $\cap$  R  $\neq \emptyset$ ) //情况B：若左子树对应的矩形与R相交，则递归查询
8        kdSearch(v->lc, R);
9
10   if (region(v->rc)  $\subseteq$  R) //情况A：若右子树完全包含于R内，则直接遍历
11       reportSubtree(v->rc);
12   else if (region(v->rc)  $\cap$  R  $\neq \emptyset$ ) //情况B：若右子树对应的矩形与R相交，则递归查询
13       kdSearch(v->rc, R);
14 }
```

算法8.2 基于2d-树的平面范围查询

可见，递归只发生于情况B；对于其余两种情况，递归都会随即终止。特别地，情况C只需直接返回，故在算法中并无与之对应的显式语句。

■ 实例

考查图8.41中的2d-树，设采用kdSearch()算法，对阴影区域进行查询。

不难验证，递归调用仅发生于黑色节点（情况B）；而在灰色节点处，并未发生递归调用（情况C或父节点属情况A）。

命中的节点共分两组：{ C }作为叶节点经直接判断后确定；{ F, H }则因其所对应区域完全包含于查询区域内部（情况A），经遍历悉数输出（习题[8-17]）。

■ 正确性

由上可见，凡被忽略的子树，其对应的矩形区域均完全落在查询区域之外，故该算法不致漏报。反之，凡被报告的子树，其对应的矩形区域均完全包含在查询区域以内（且互不相交），故亦不致误报。

■ 复杂度

平面范围查询与一维情况不同，在同一深度上可能递归两次以上，并报告出多于两棵子树。但更精细的分析（习题[8-16]）表明，被报告的子树总共不超过 $O(\sqrt{n})$ 棵，累计耗时 $O(\sqrt{n})$ 。

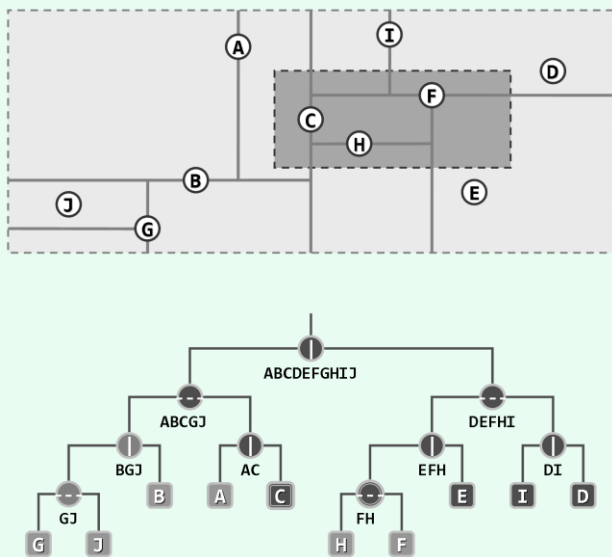


图8.41 基于2d-树的平面范围查询

(A~J共计10个输入点；命中子树的根节点，以双线圆圈示意)